

Program EVALPLOT
(Version 2018-1)

by

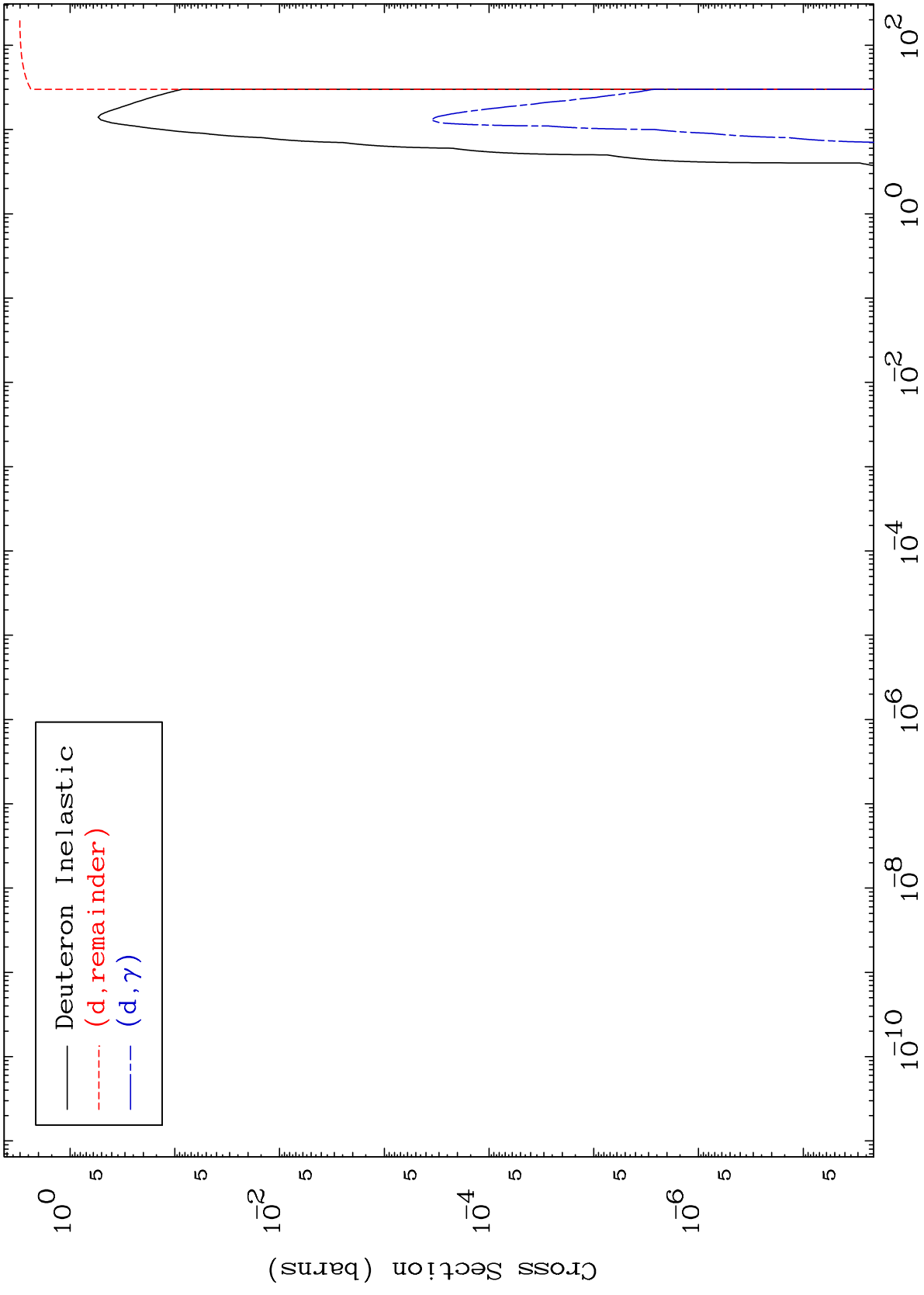
Dermott E. Cullen
(Present Contact Information)

Dermott E. Cullen
1466 Hudson Way
Livermore, CA 94550
U.S.A.

Tele: 925-443-1911

E.Mail:redcullen1@comcast.net
Web:redcullen1.net/HOMEPAGE.NEW

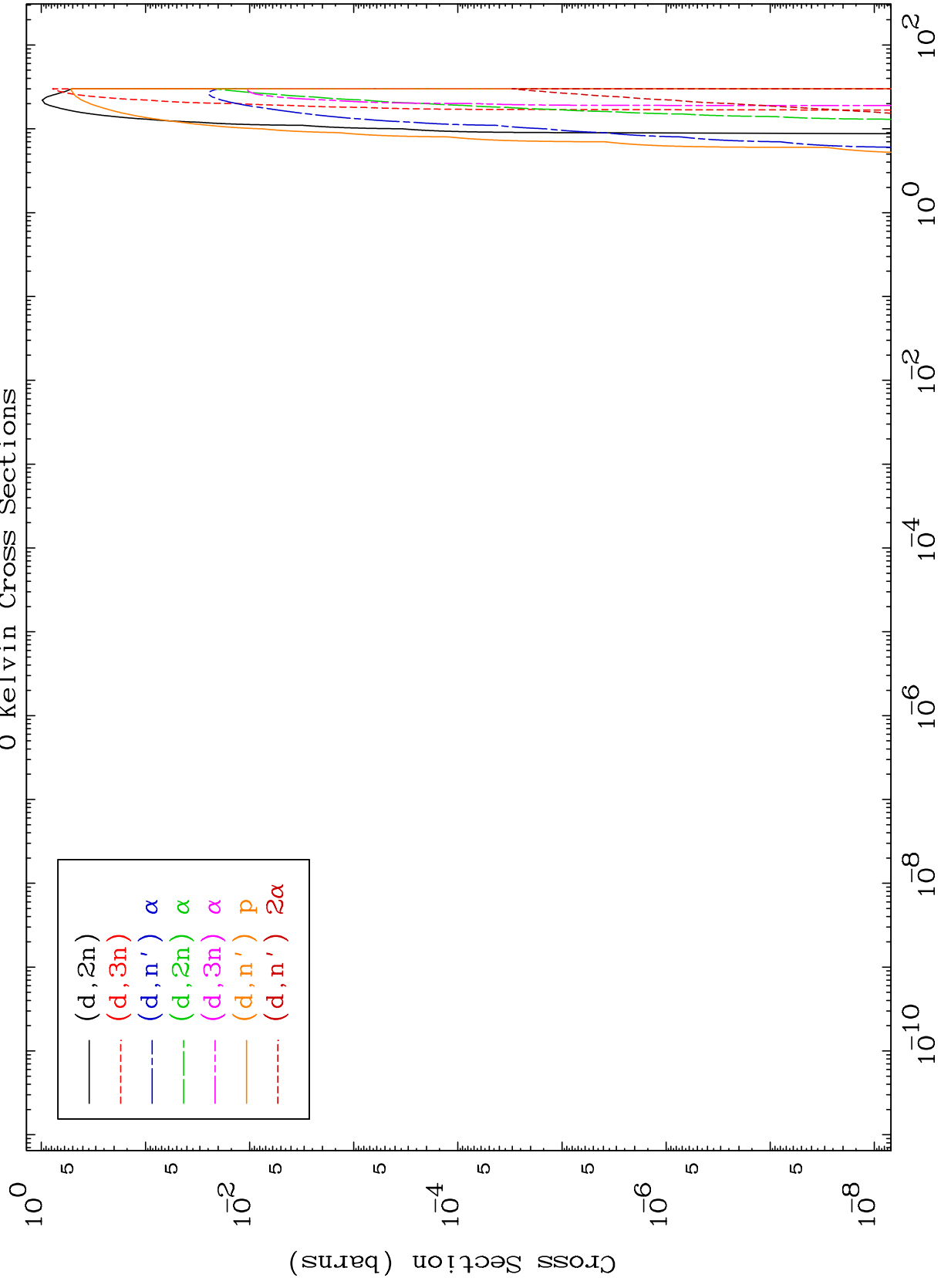
Press Mouse Button to Start



MAT 8090

Deuteron Neutron Production
0 Kelvin Cross Sections

81-Tl-191



2

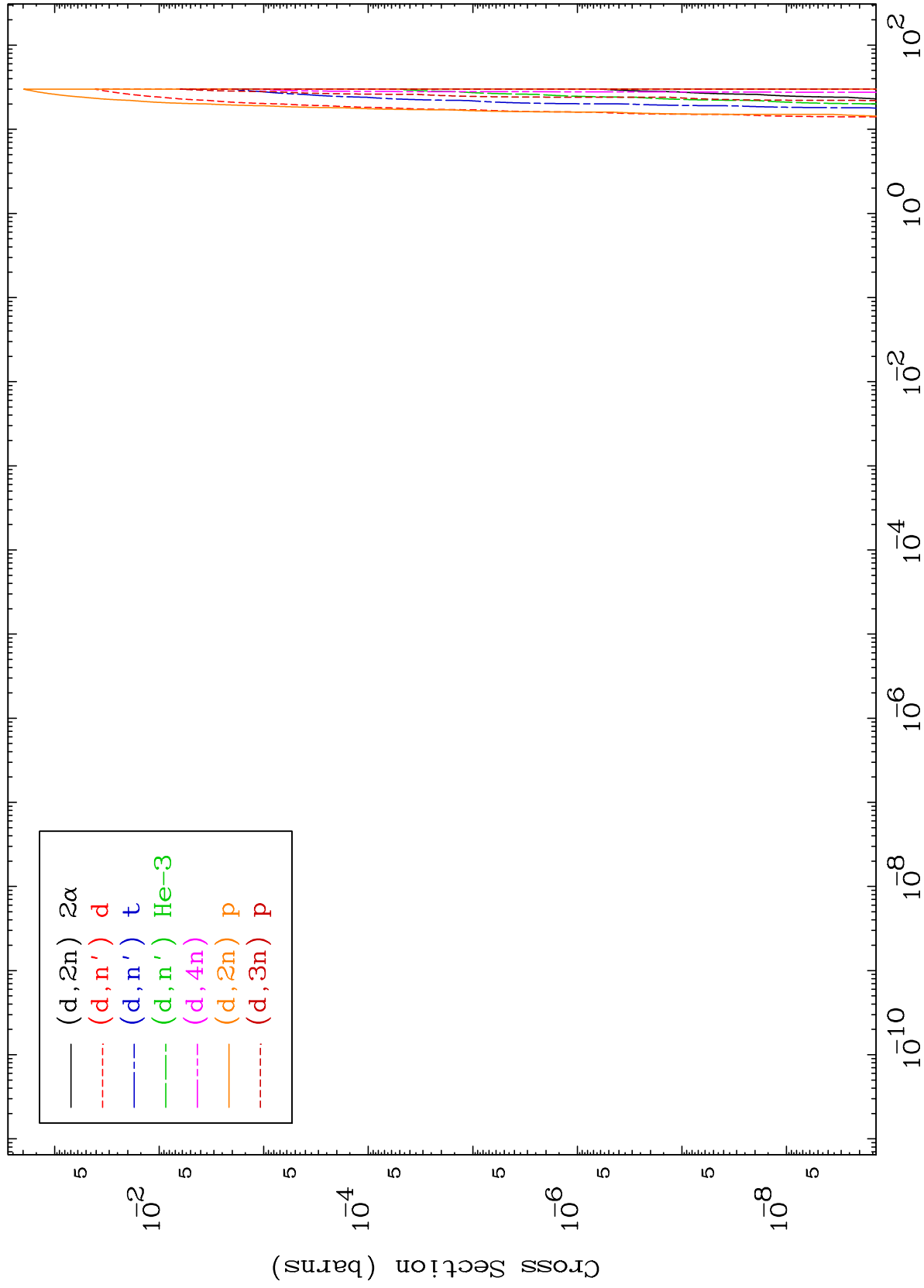
Incident Energy (MeV)

81-Tl-191

MAT 8090

Deuteron Neutron Production
0 Kelvin Cross Sections

81-Tl-191



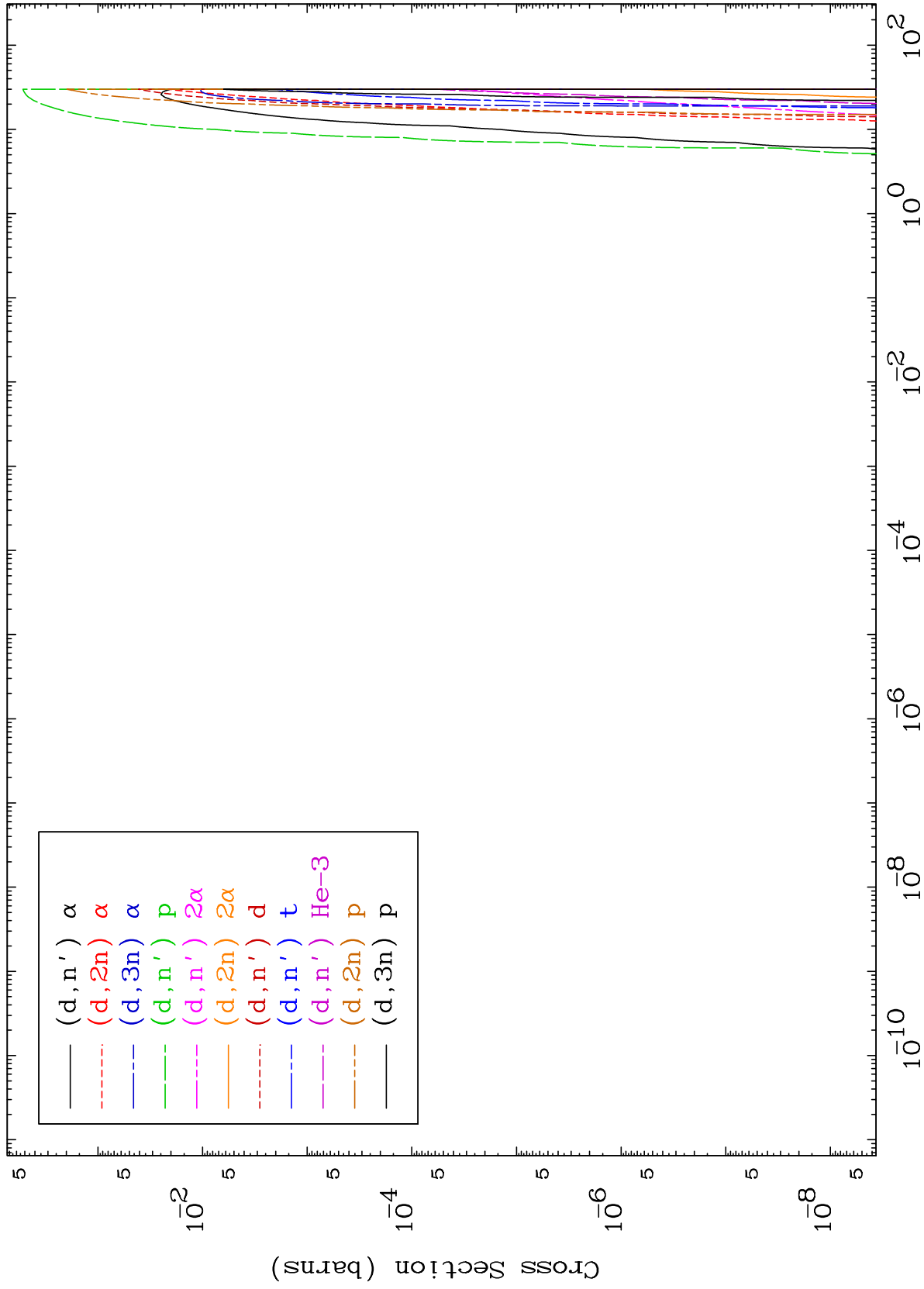
3

81-Tl-191

MAT 8090

Deuteron Charged Particle
0 Kelvin Cross Sections

81-Tl-191

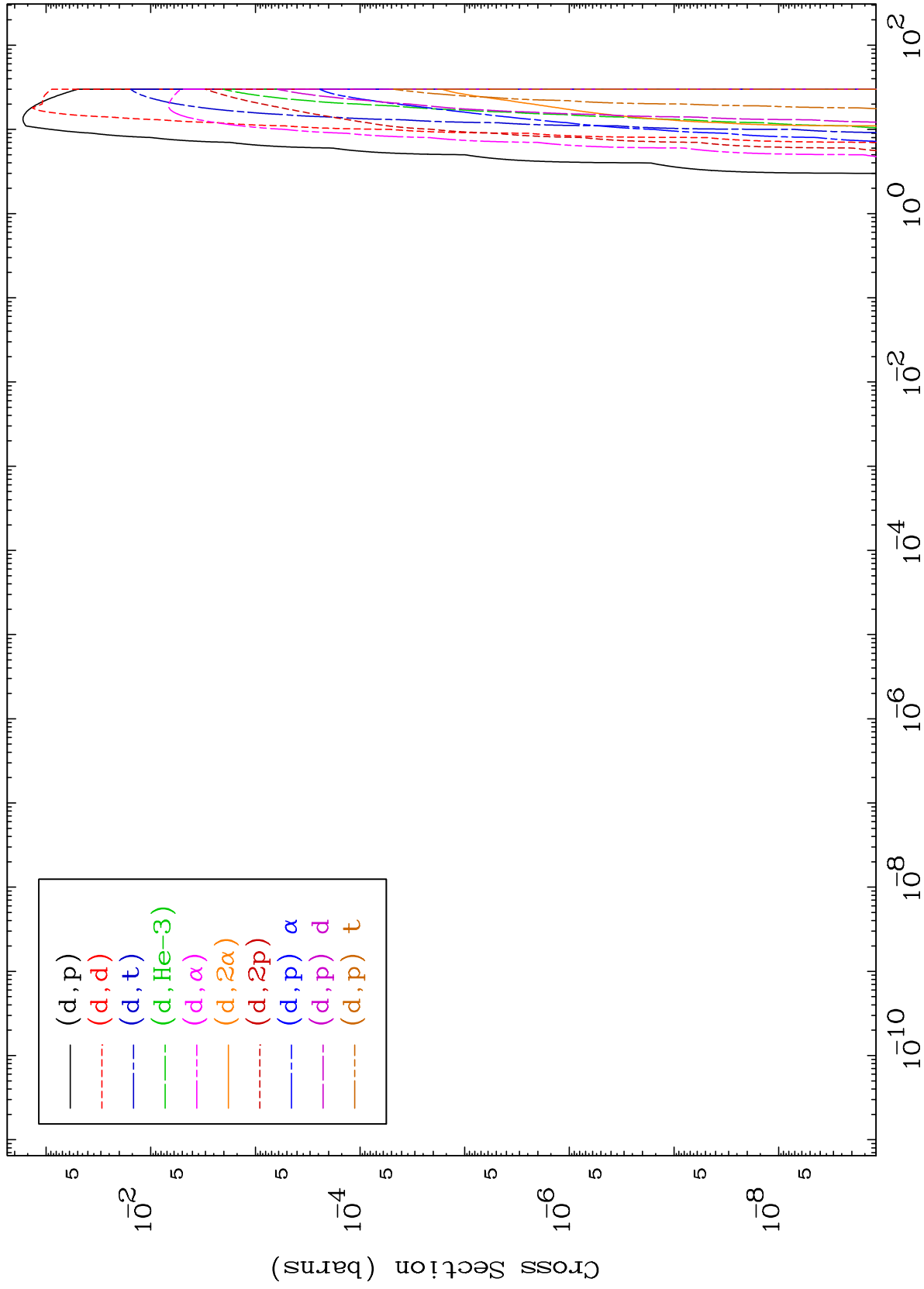


81-Tl-191

MAT 8090

Deuteron Charged Particle
0 Kelvin Cross Sections

81-Tl-191



5

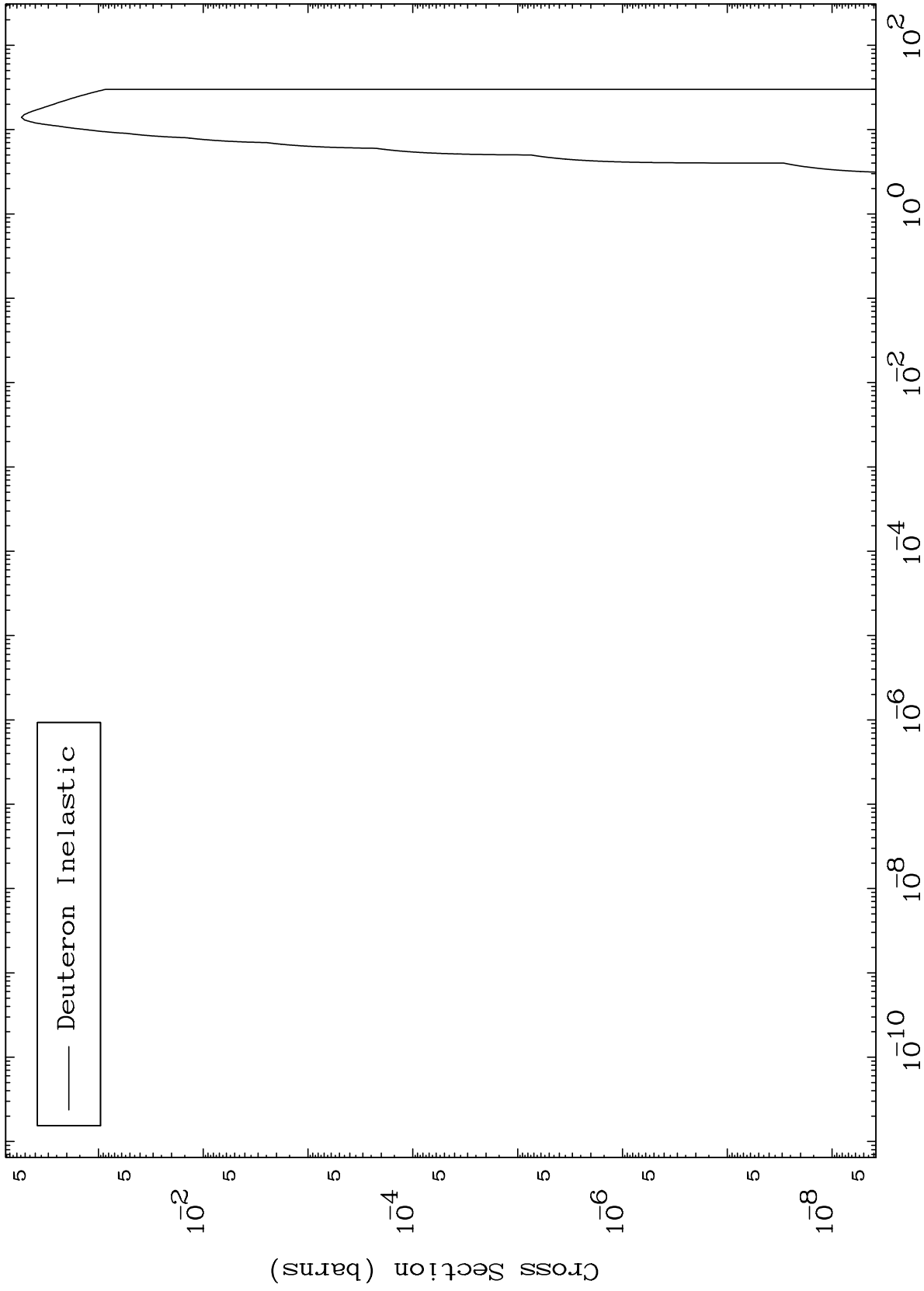
Incident Energy (MeV)

81-Tl-191

MAT 8090

(d,n') Level
0 Kelvin Cross Sections

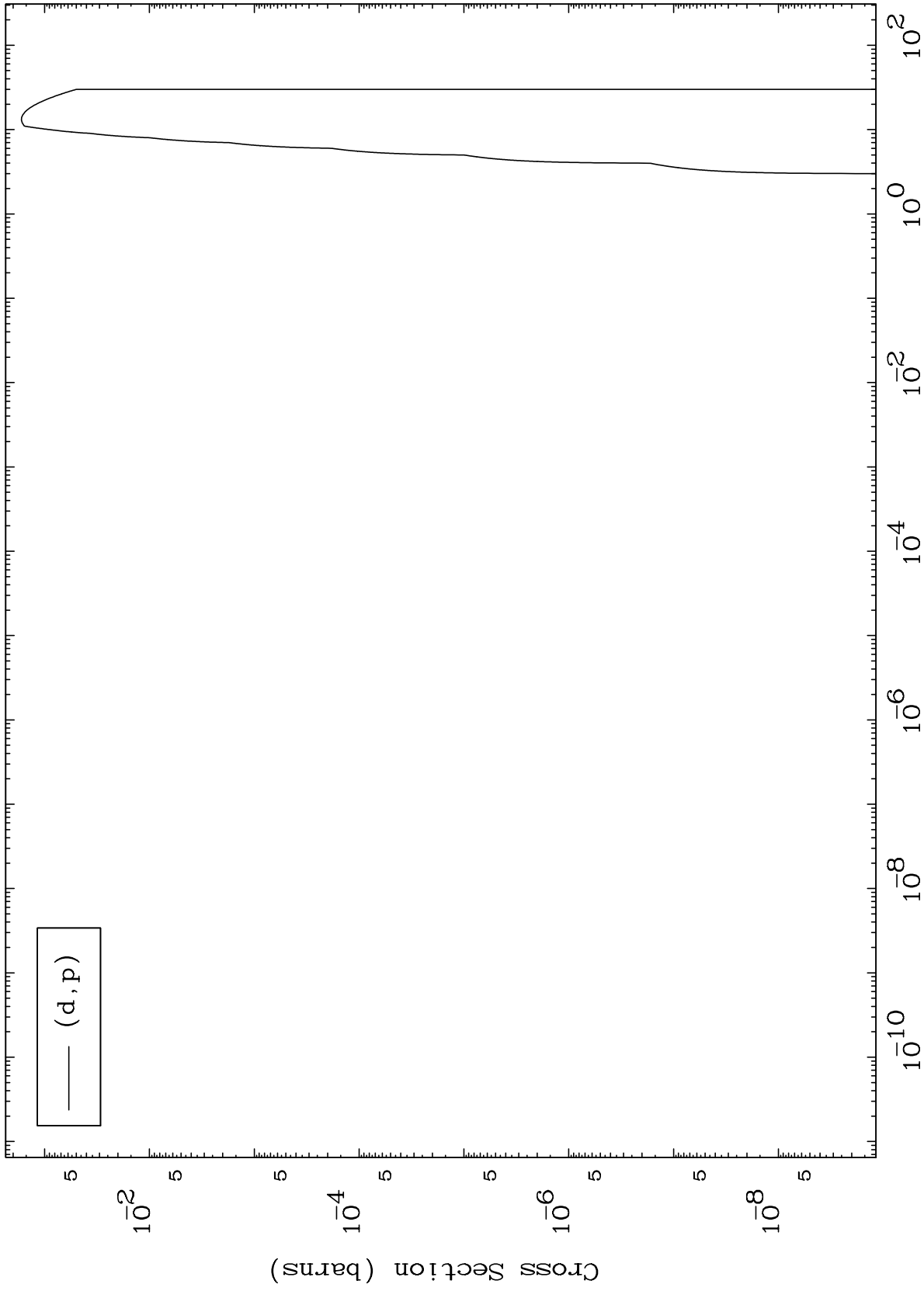
81-Tl-191



MAT 8090

(d,p) Levels
0 Kelvin Cross Sections

81-Tl-191



7

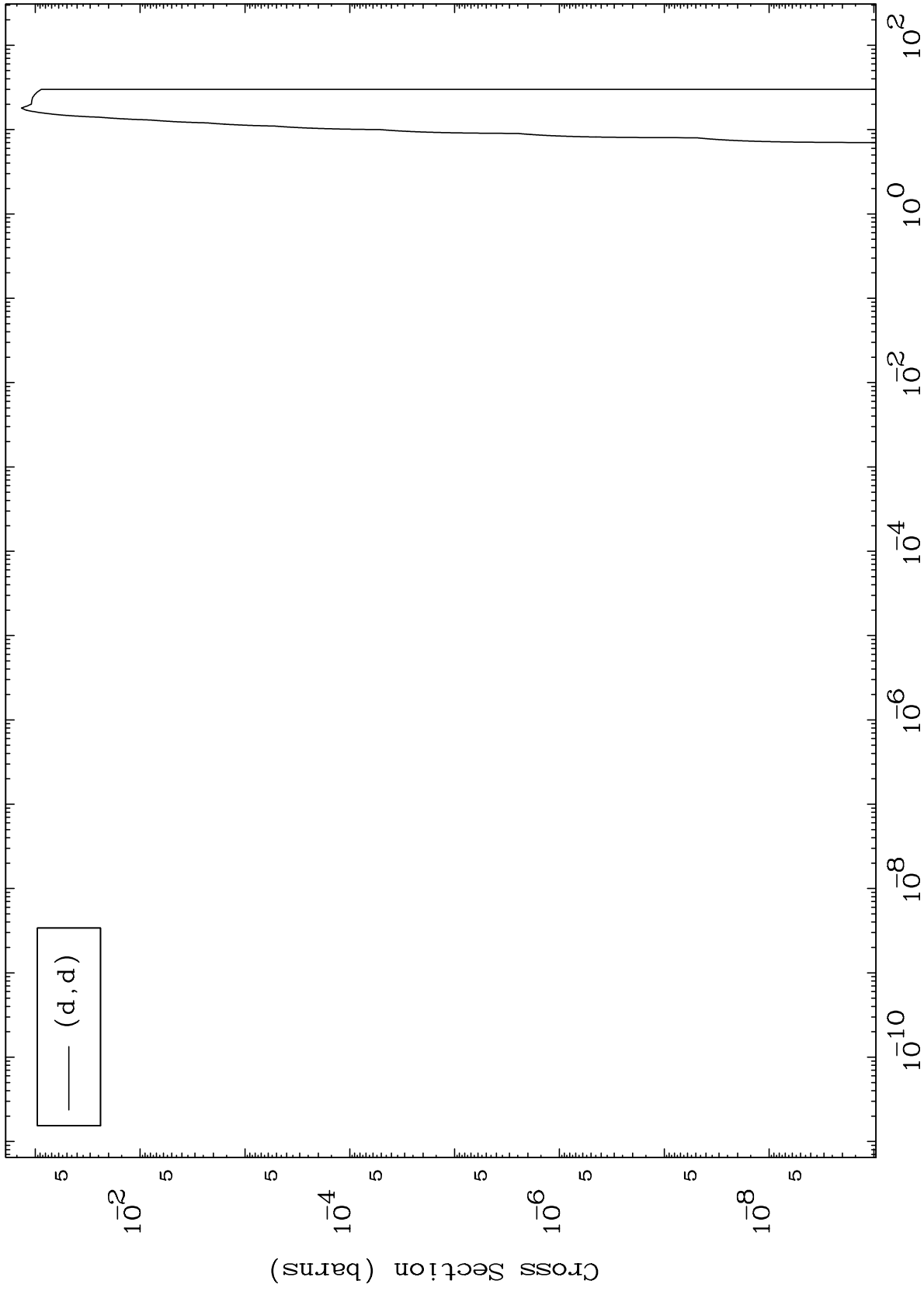
Incident Energy (MeV)

81-Tl-191

MAT 8090

(d,d) Levels
0 Kelvin Cross Sections

81-Tl-191



8

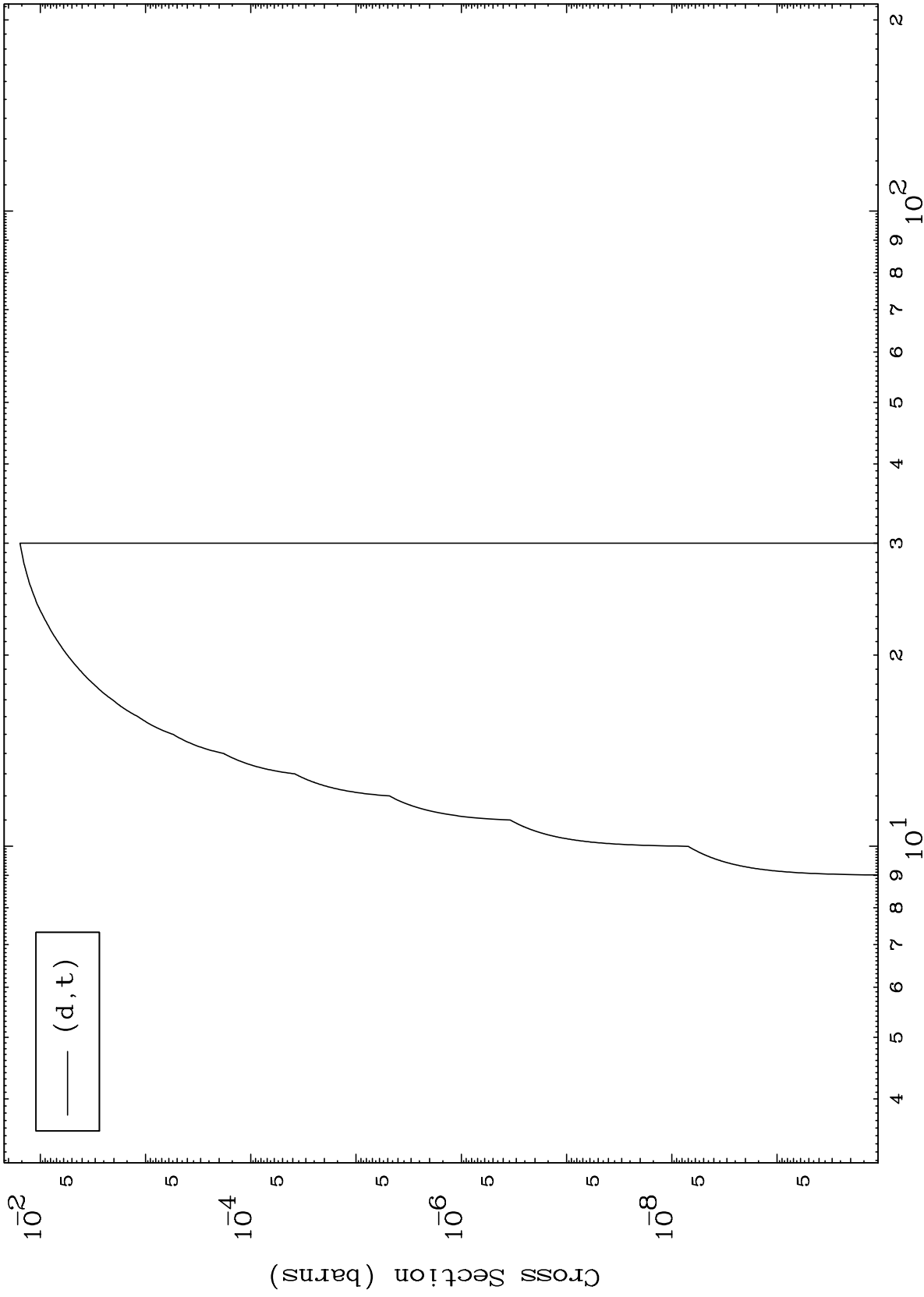
Incident Energy (MeV)

81-Tl-191

MAT 8090

(d,t) Levels
0 Kelvin Cross Sections

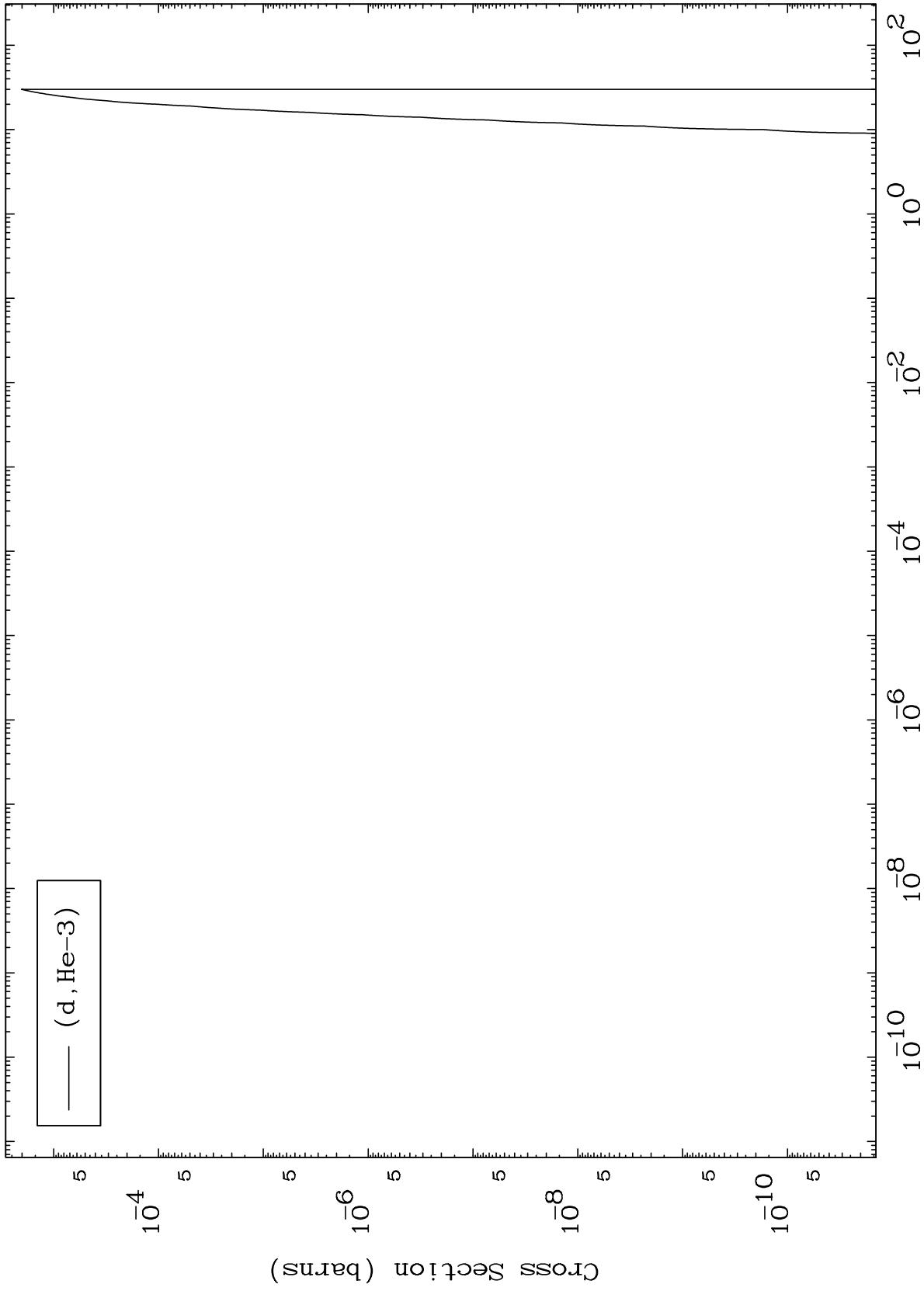
81-Tl-191



MAT 8090

(d,He3) Levels
0 Kelvin Cross Sections

81-Tl-191



10

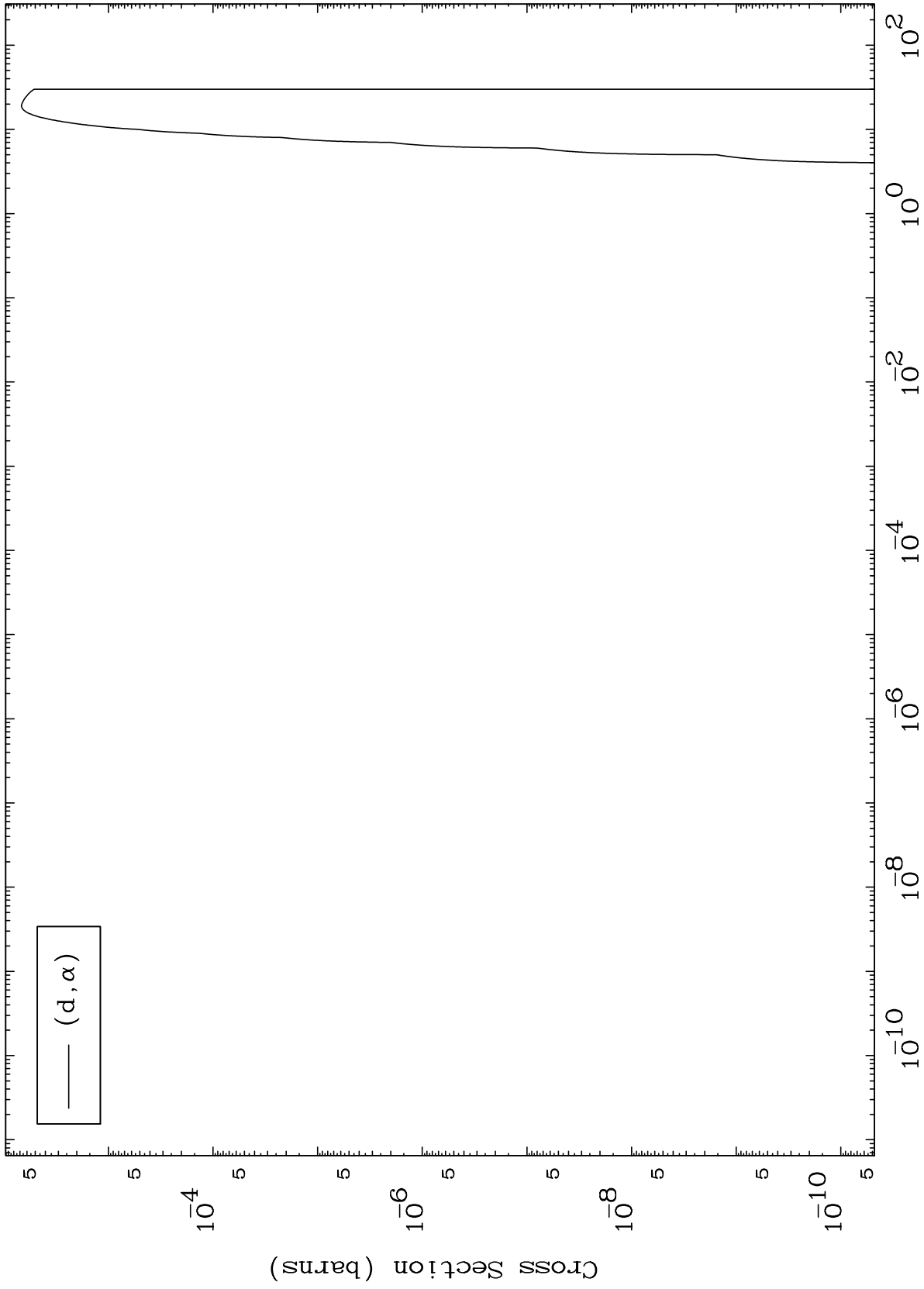
Incident Energy (MeV)

81-Tl-191

MAT 8090

(d, α) Levels
0 Kelvin Cross Sections

81-Tl-191



11

Incident Energy (MeV)

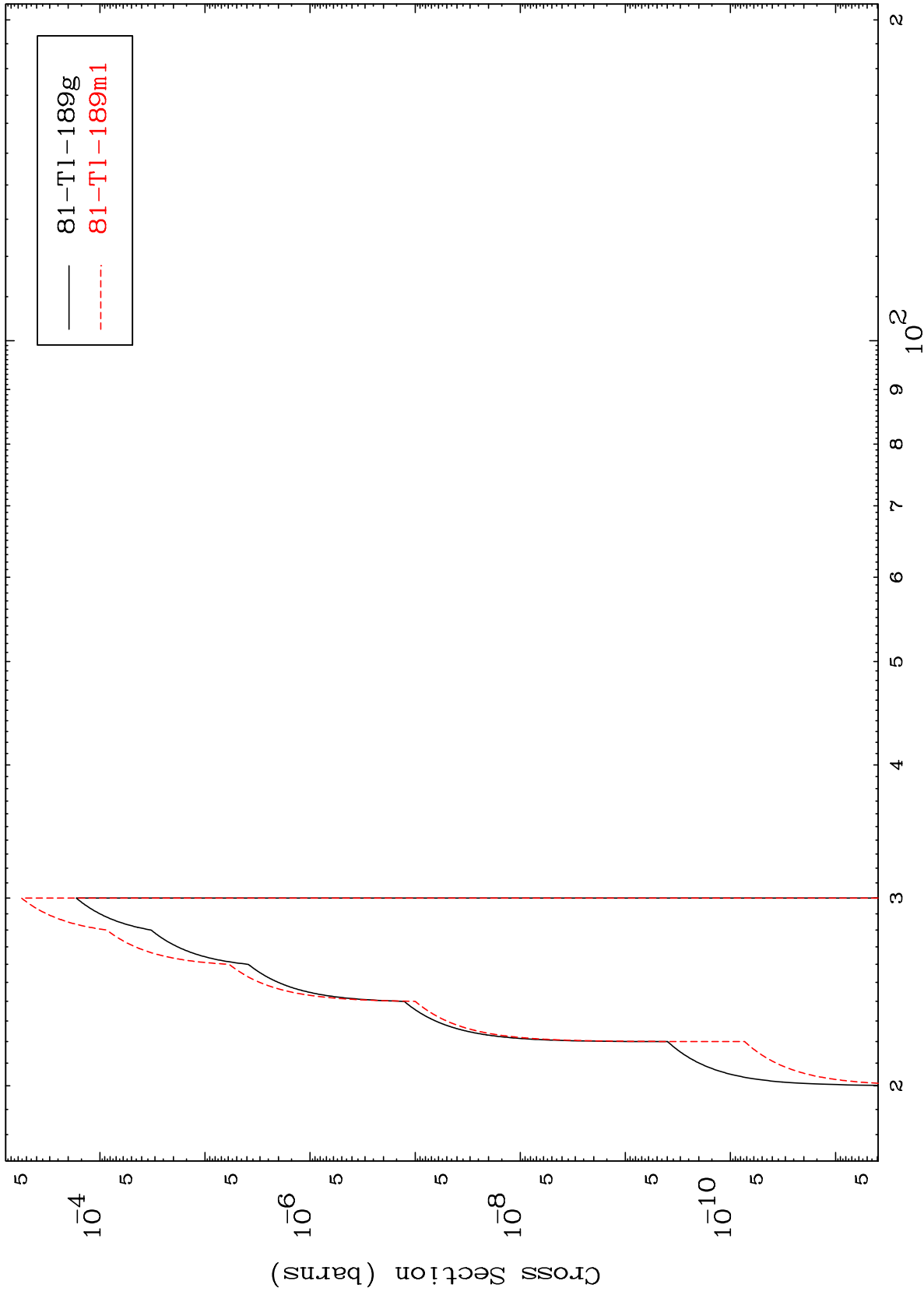
81-Tl-191

MAT 8090

(d,2n) d

81-Tl-191

Radionuclide Production Cross Section



12

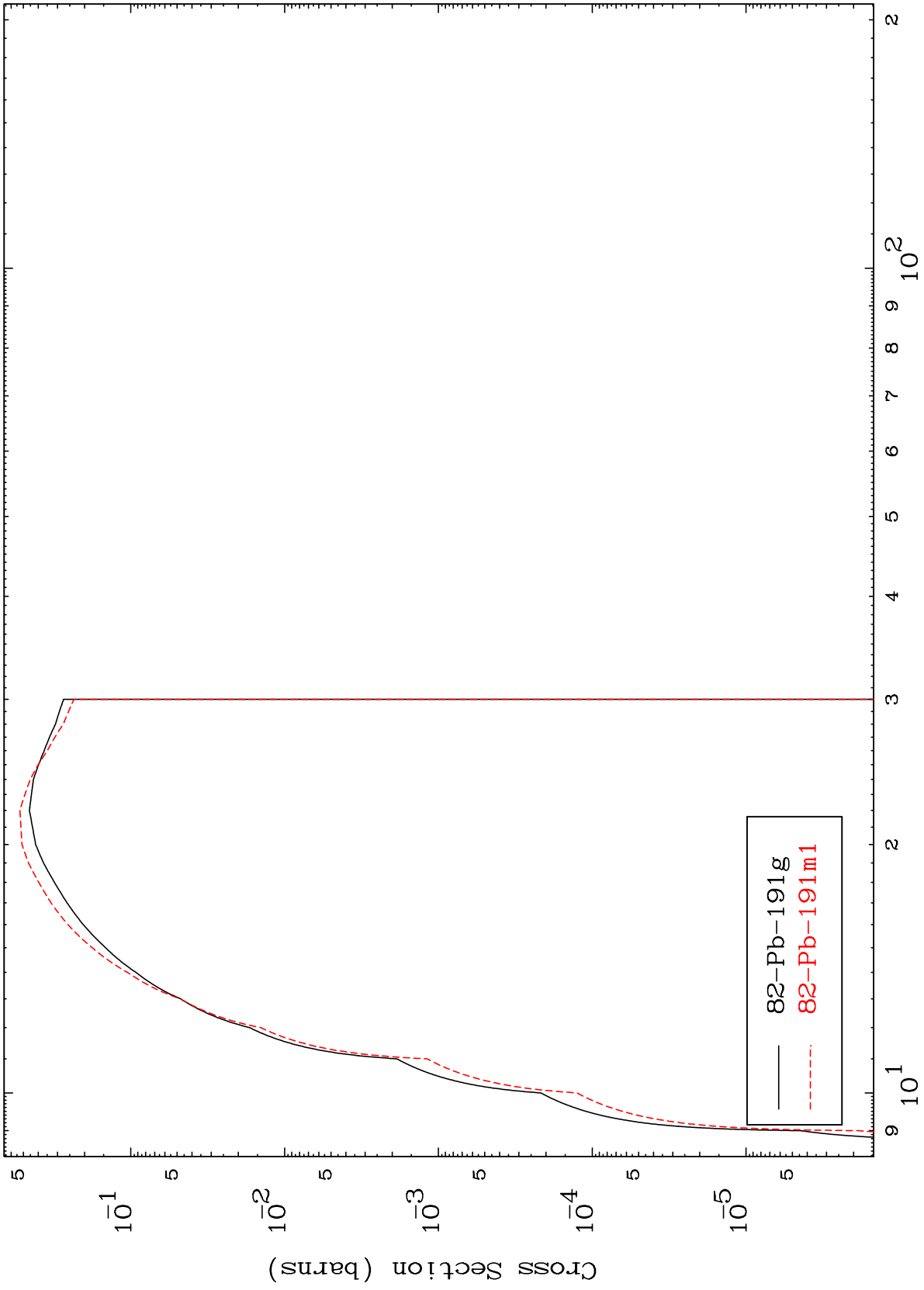
Incident Energy (MeV)

81-Tl-191

MAT 8090

81-Tl-191

Radionuclide Production Cross Section
(d,2n)

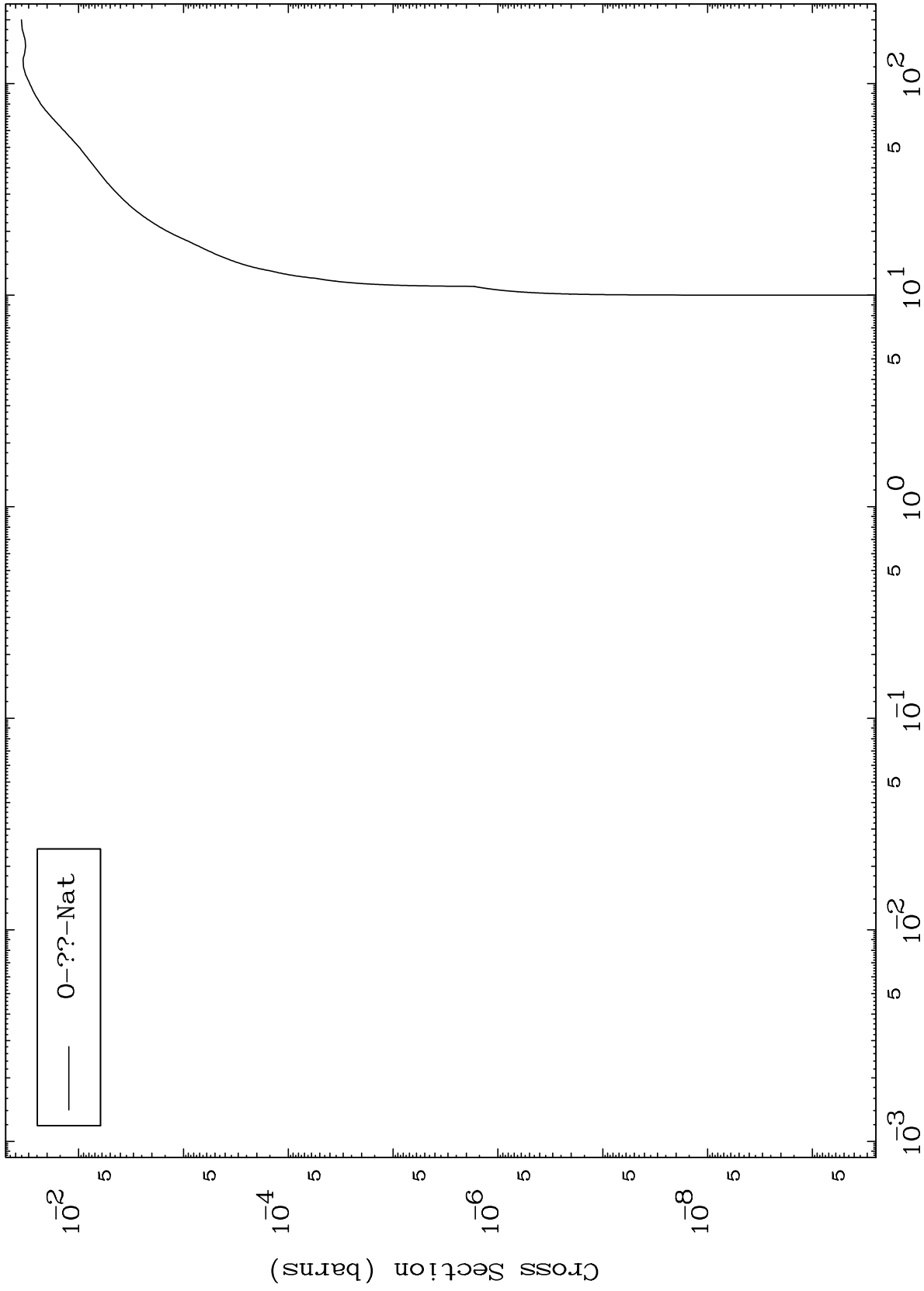


13

MAT 8090

Deuteron Fission
Radionuclide Production Cross Section

81-Tl-191



14

Incident Energy (MeV)

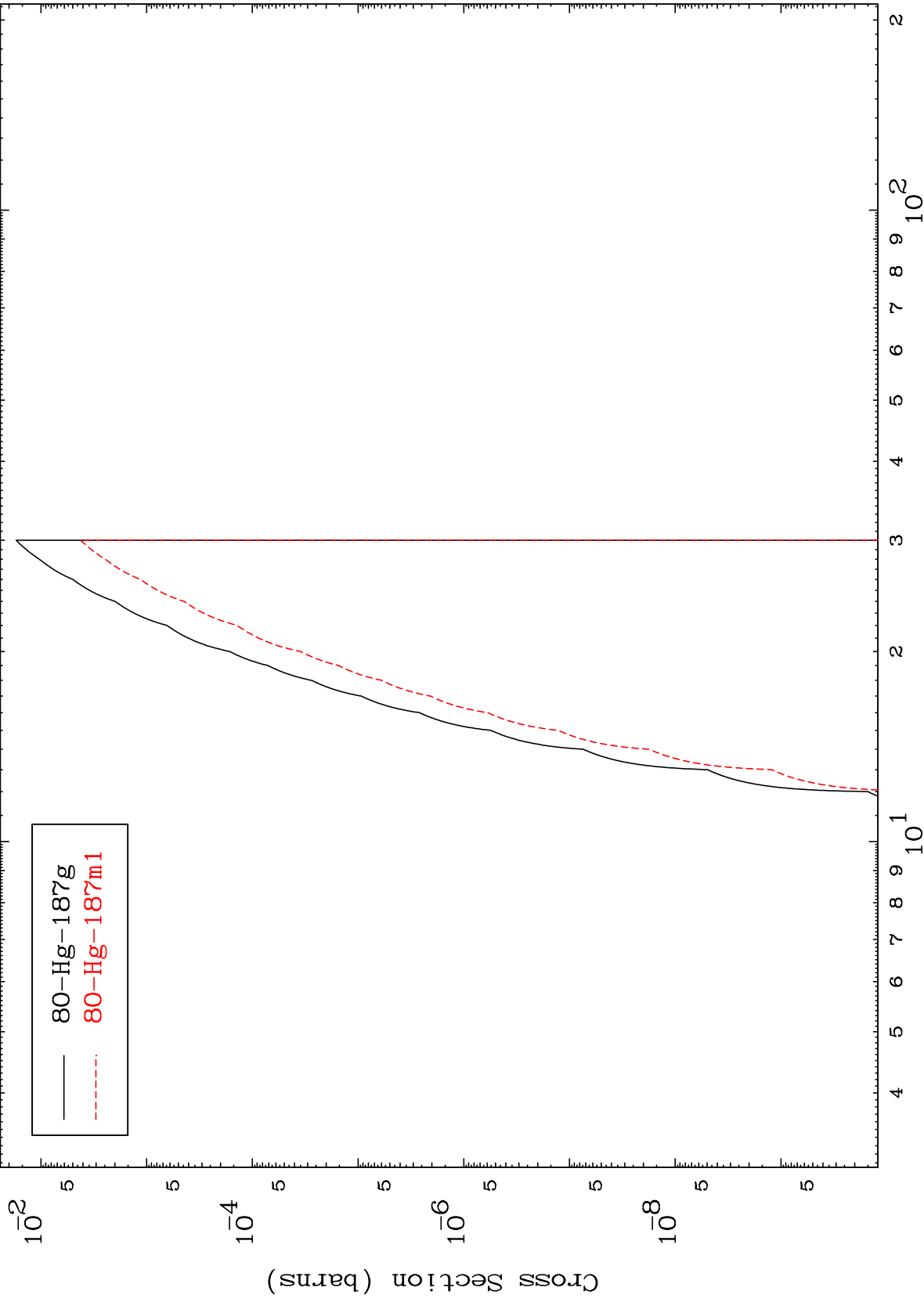
81-Tl-191

MAT 8090

(d,2n) α

81-Tl-191

Radionuclide Production Cross Section



80-Hg-187g
80-Hg-187m1

15

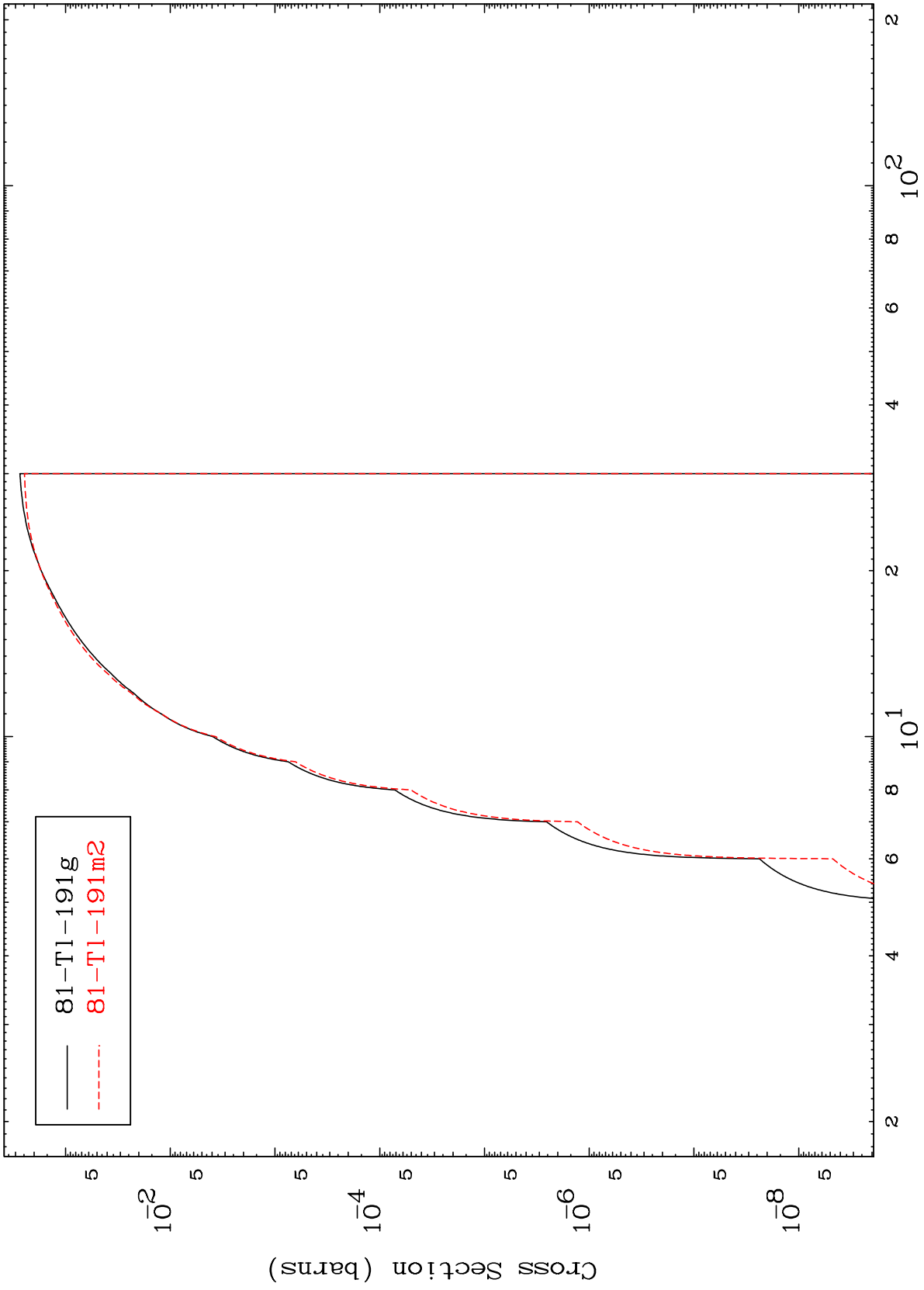
Incident Energy (MeV)

81-Tl-191

MAT 8090

81-Tl-191

(d,n') p
Radionuclide Production Cross Section



16

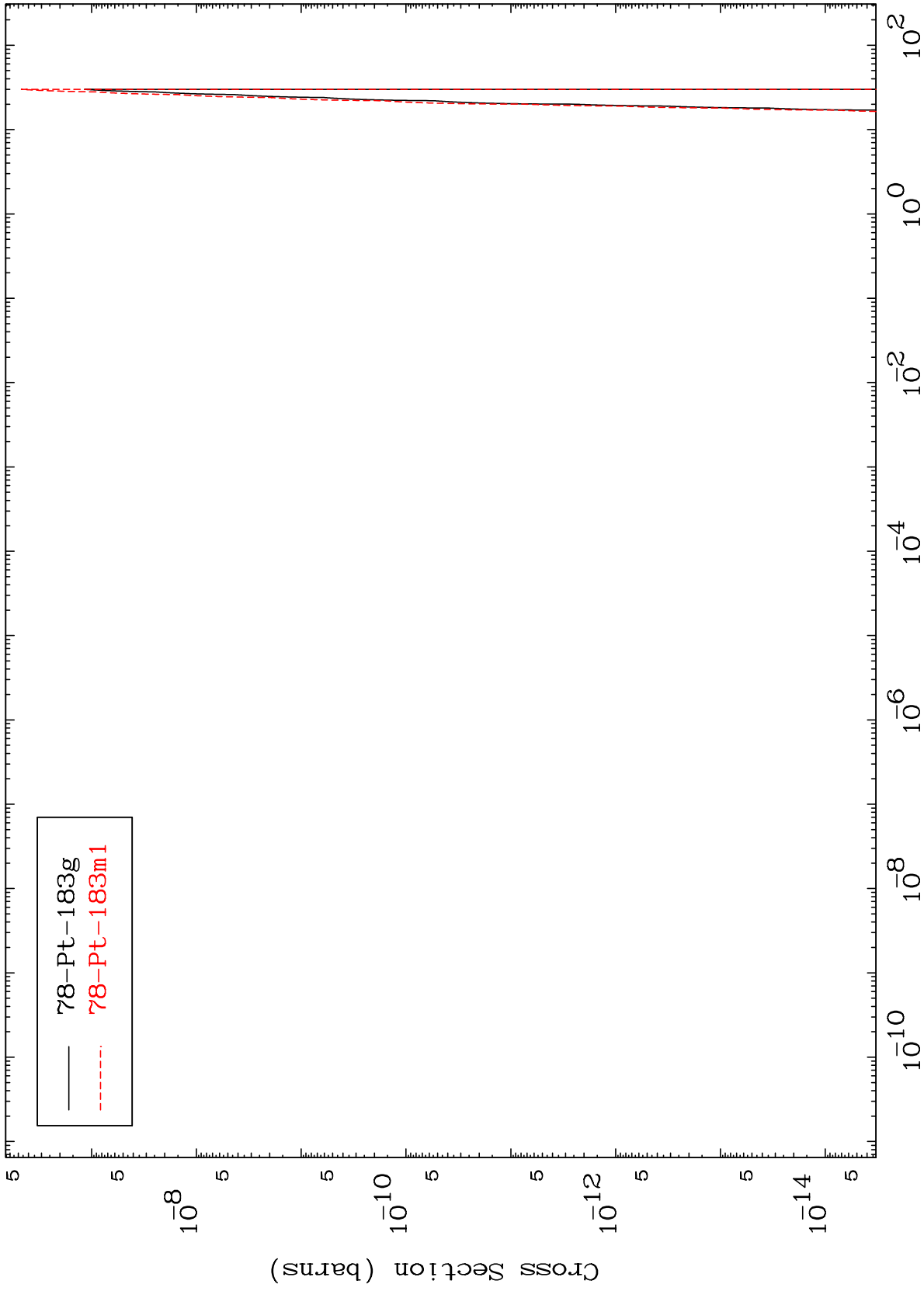
81-Tl-191

MAT 8090

(d,2n) 2 α

81-Tl-191

Radionuclide Production Cross Section



17

Incident Energy (MeV)

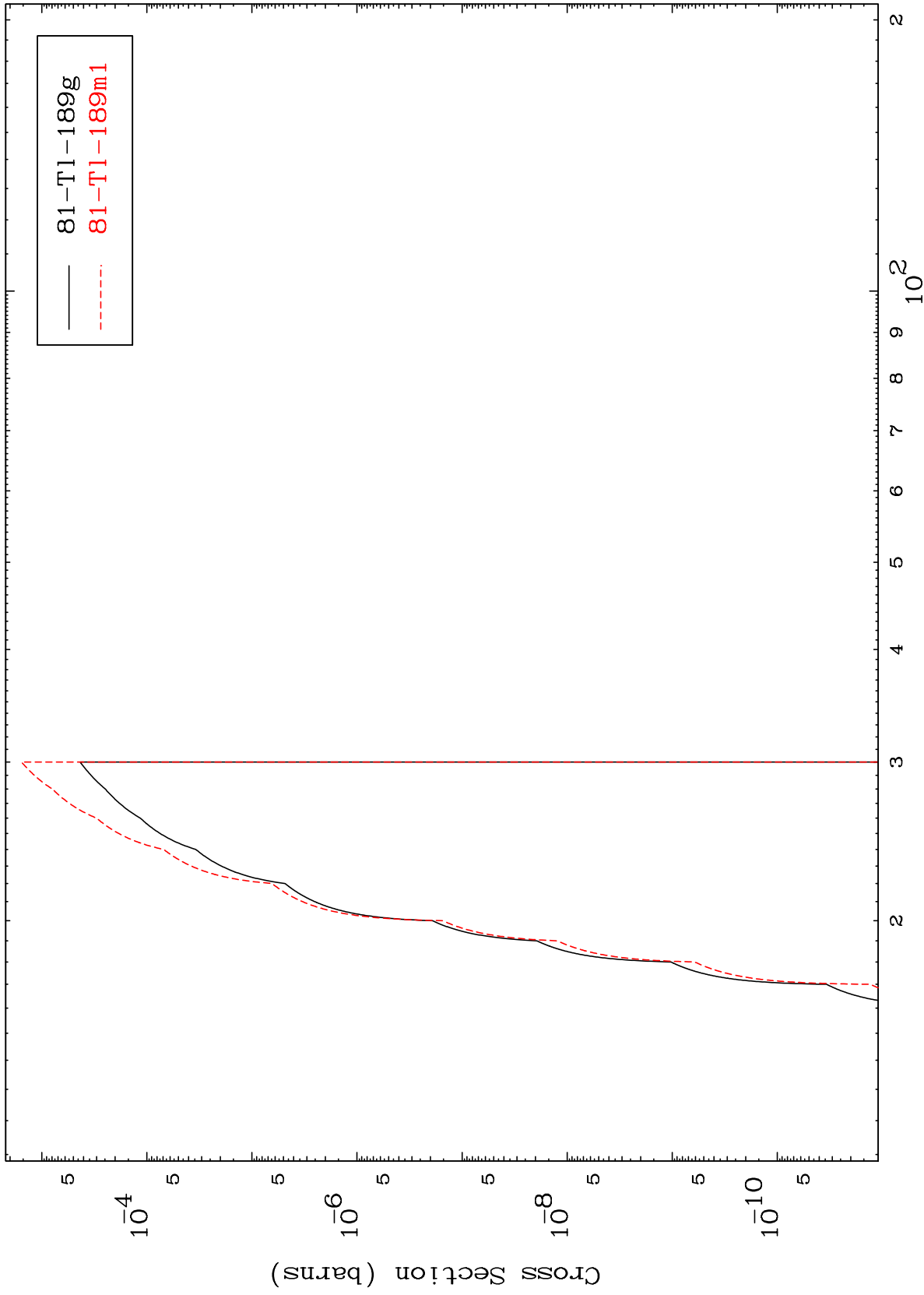
81-Tl-191

MAT 8090

(d,n') t

81-Tl-191

Radionuclide Production Cross Section



18

Incident Energy (MeV)

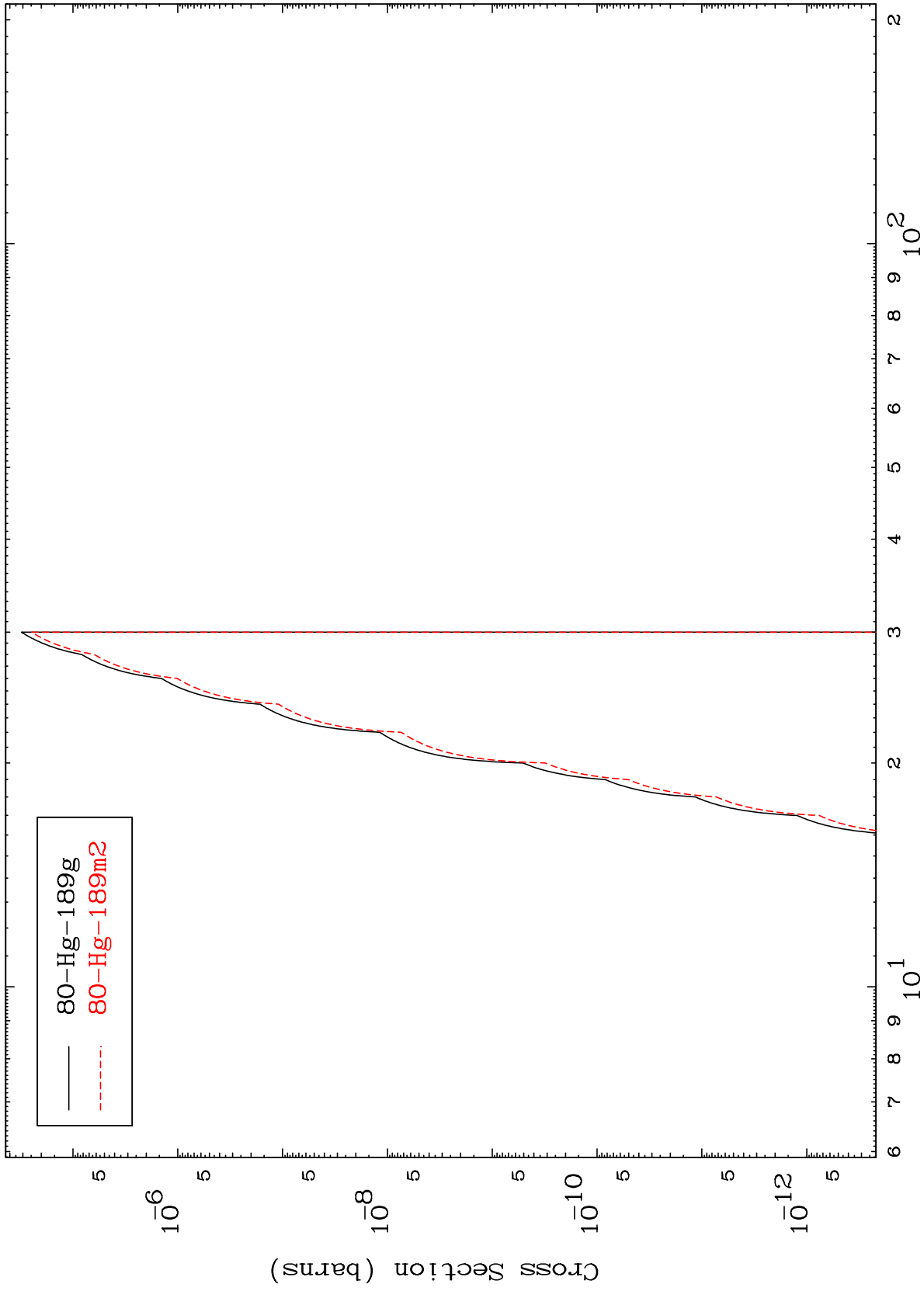
81-Tl-191

MAT 8090

(d,n') He-3

81-Tl-191

Radionuclide Production Cross Section



80-Hg-189g
80-Hg-189m2

19

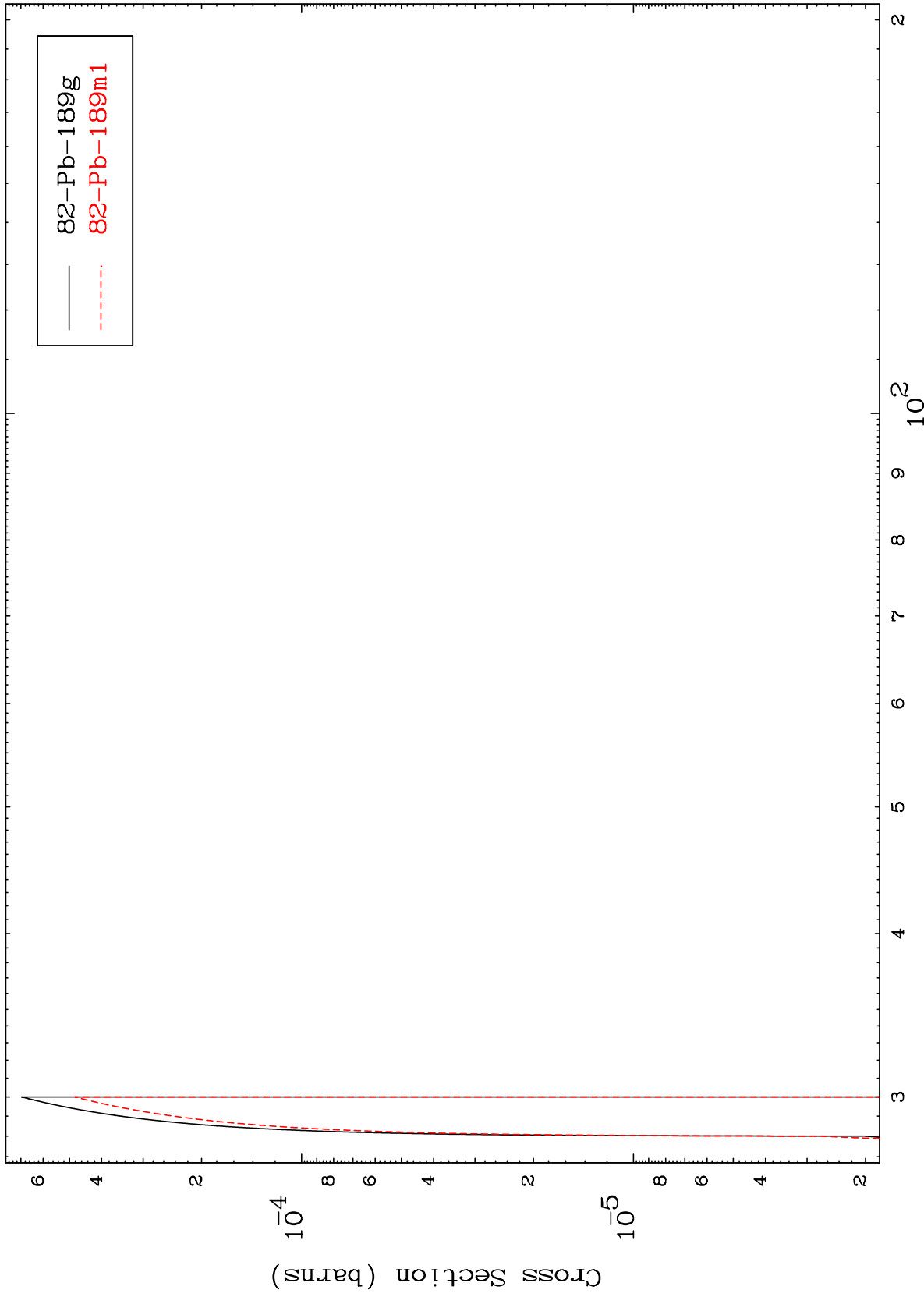
Incident Energy (MeV)

81-Tl-191

MAT 8090

81-Tl-191

(d,4n)
Radionuclide Production Cross Section



20

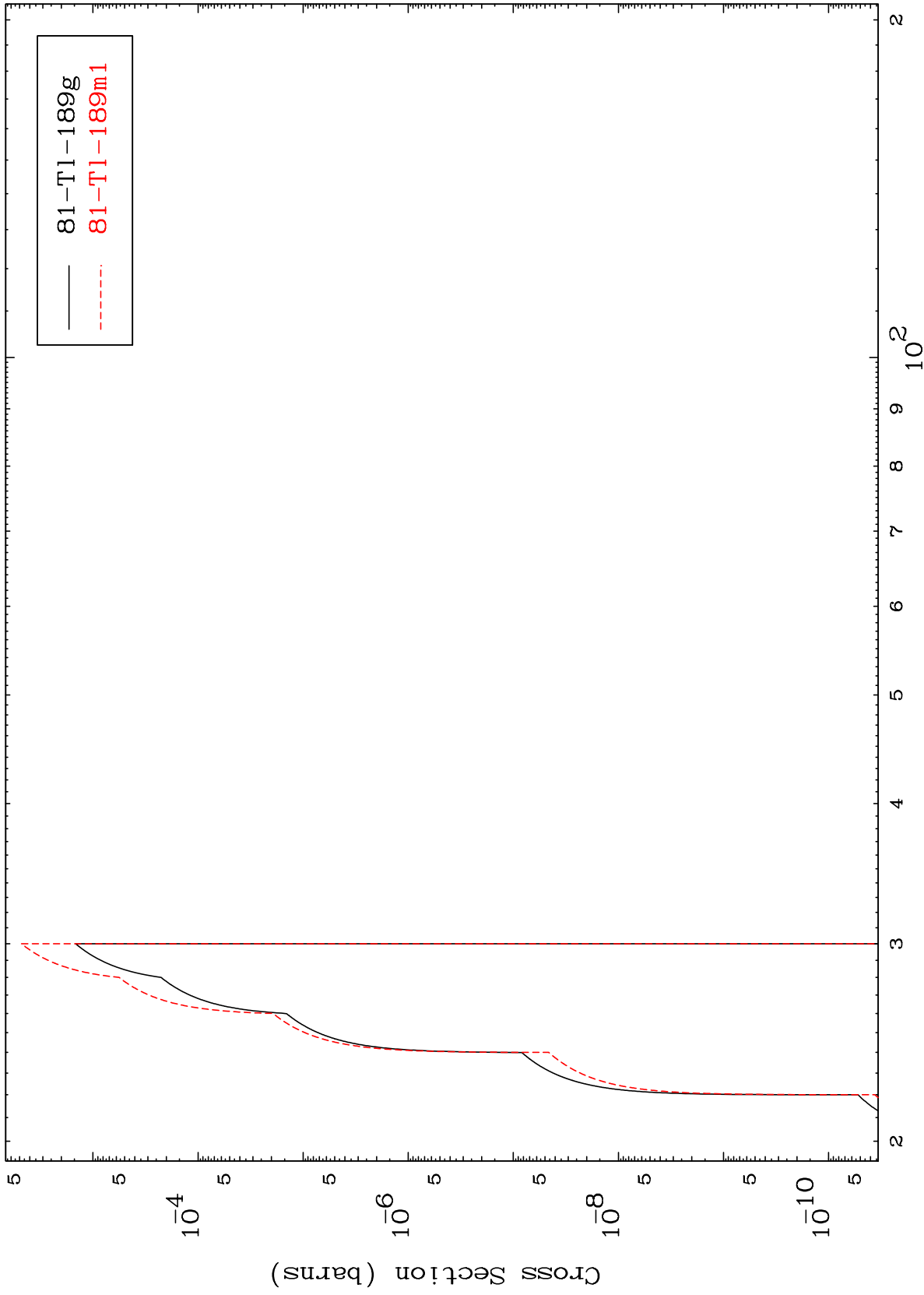
81-Tl-191

MAT 8090

(d,3n) p

81-Tl-191

Radionuclide Production Cross Section



21

Incident Energy (MeV)

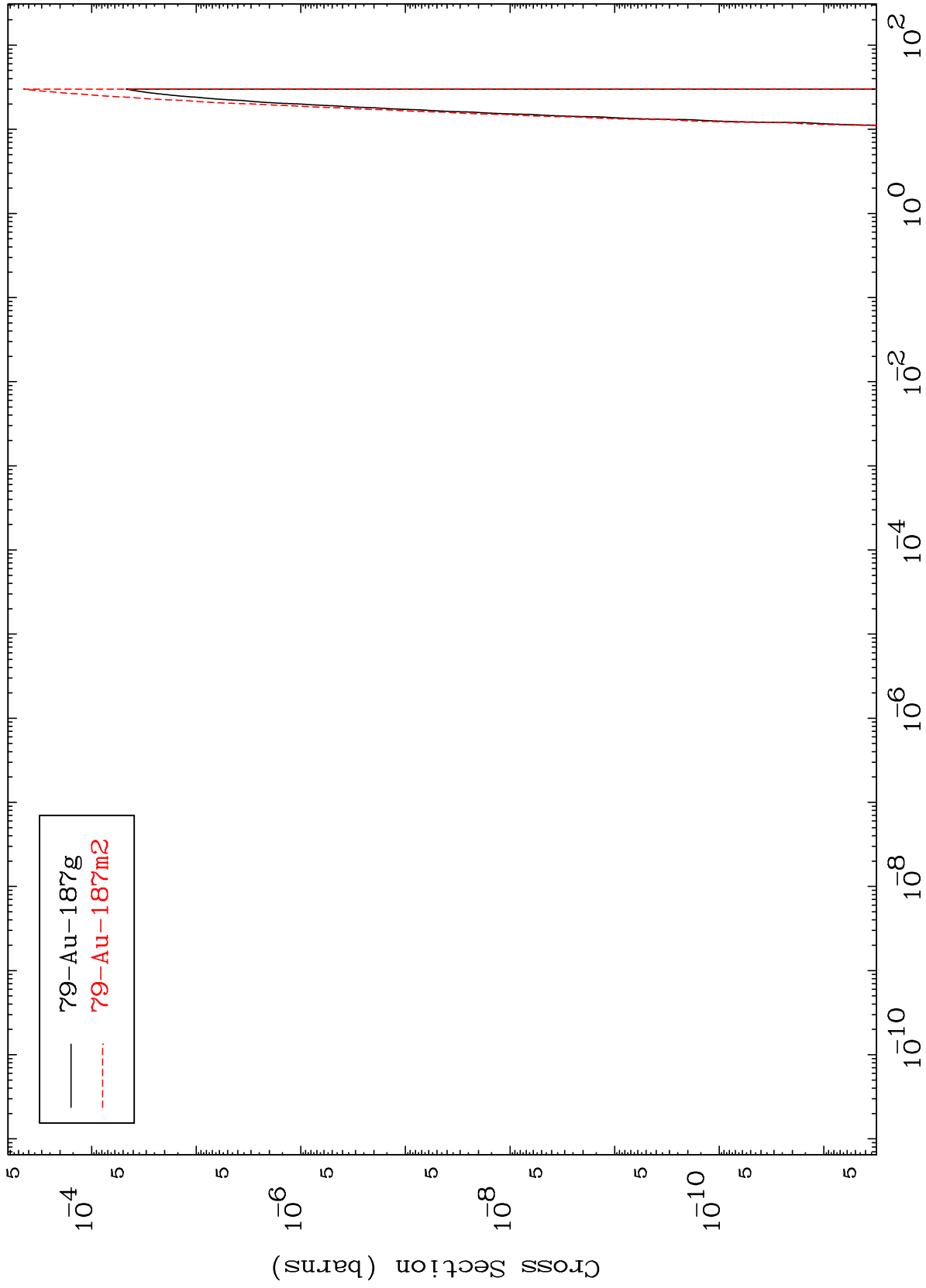
81-Tl-191

MAT 8090

(d,n') p α

81-Tl-191

Radionuclide Production Cross Section



22

Incident Energy (MeV)

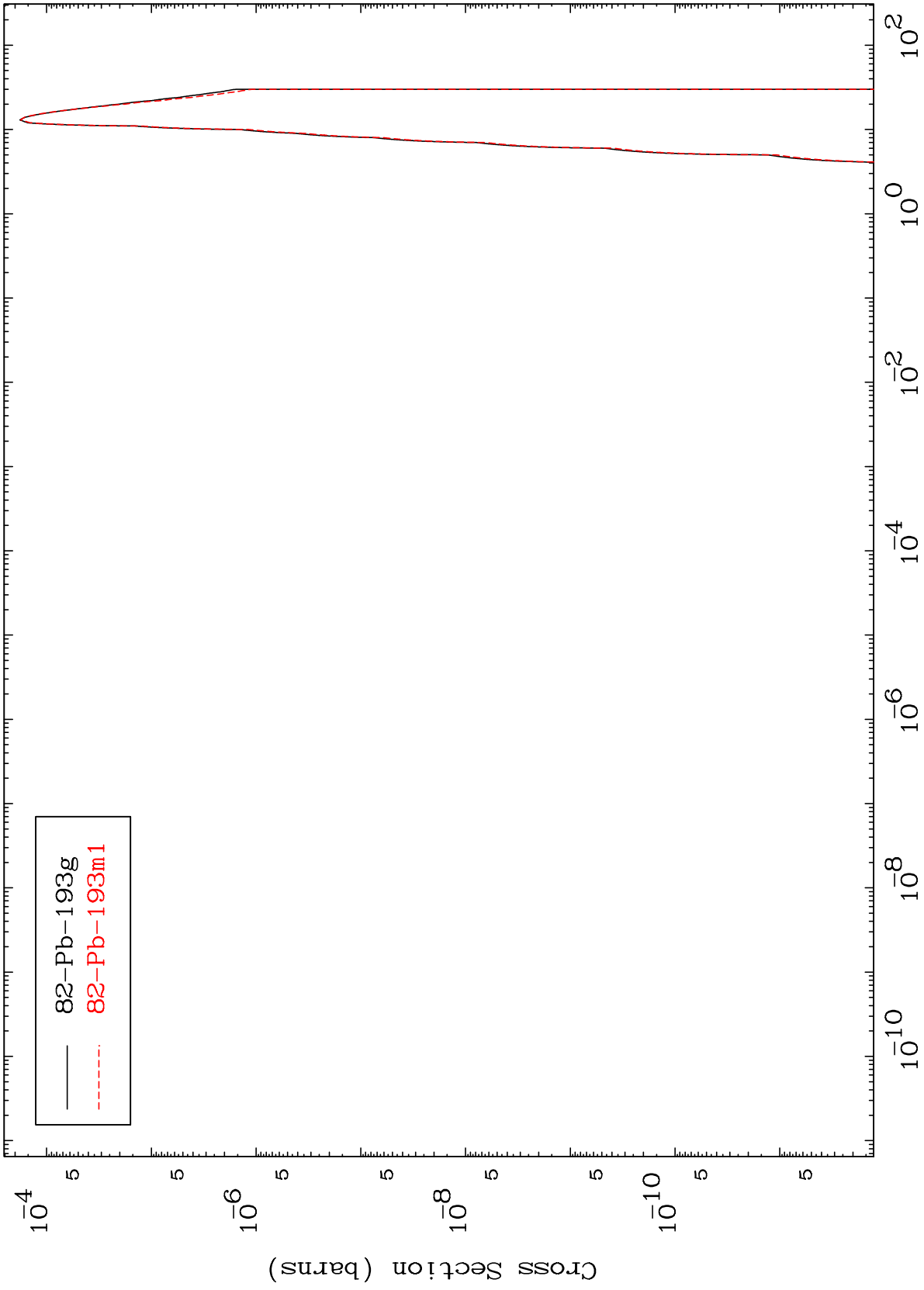
81-Tl-191

MAT 8090

(d,γ)

81-Tl-191

Radionuclide Production Cross Section



23

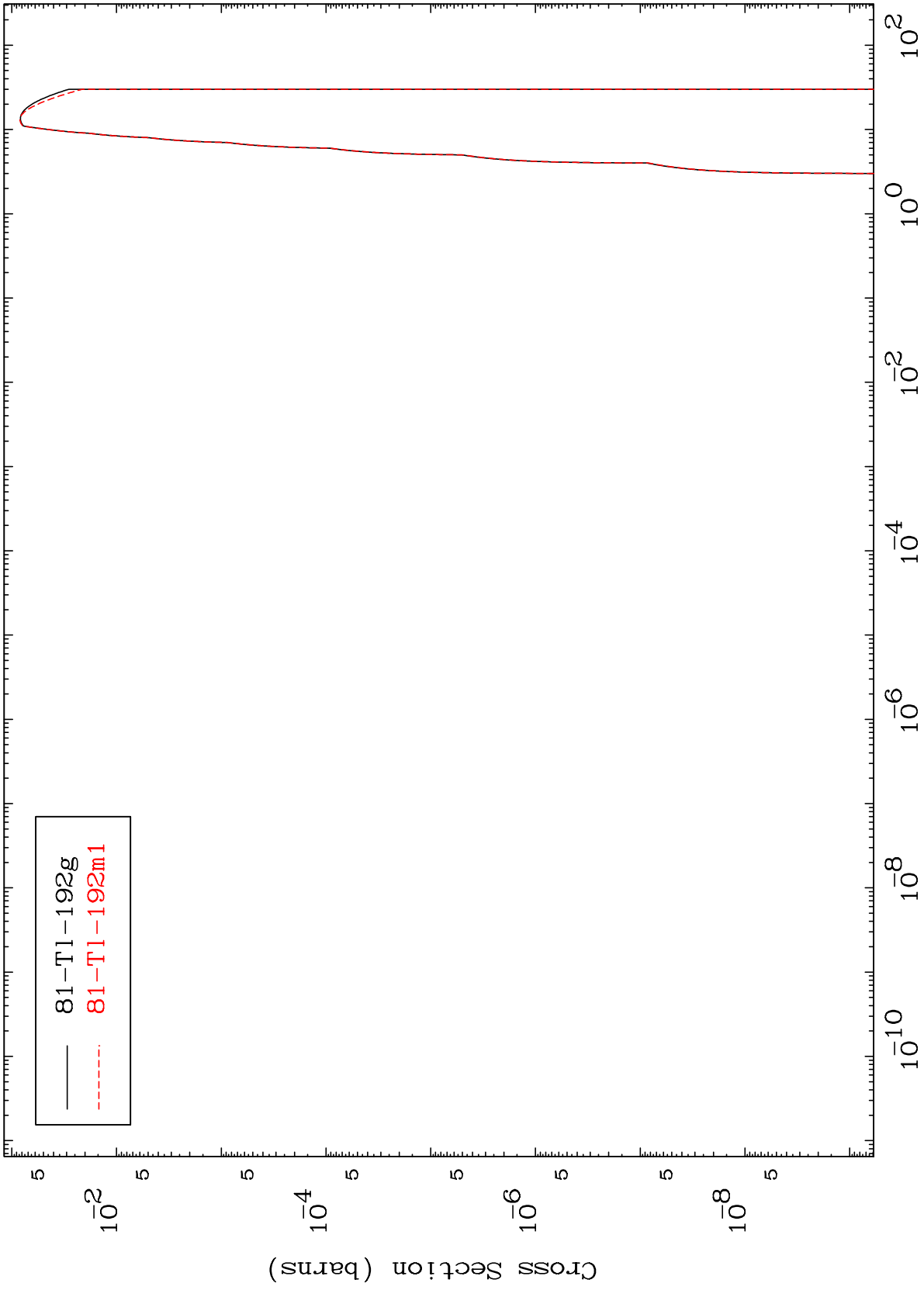
Incident Energy (MeV)

81-Tl-191

MAT 8090

(d,p)
Radionuclide Production Cross Section

81-Tl-191



24

Incident Energy (MeV)

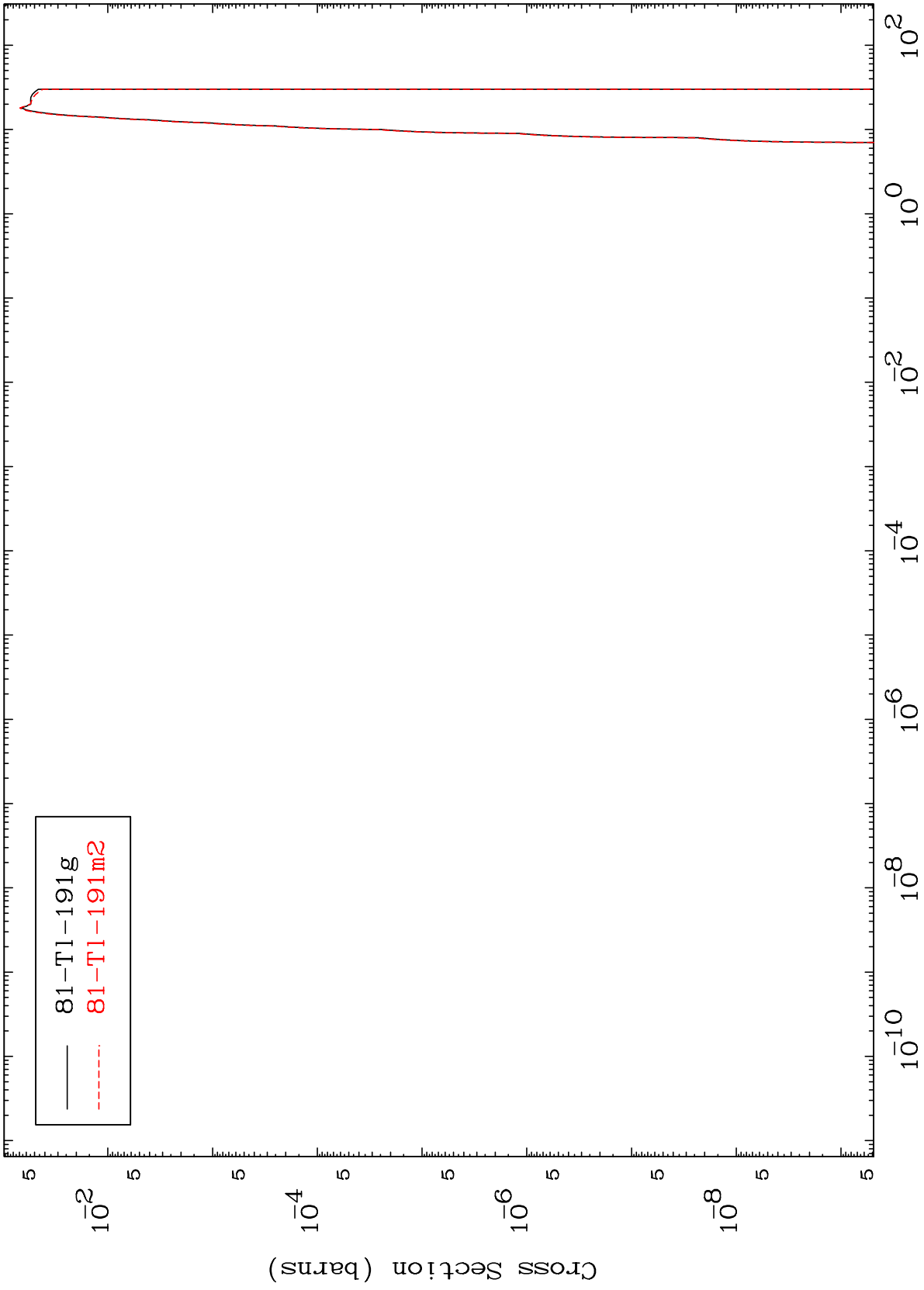
81-Tl-191

MAT 8090

(d,d)

81-Tl-191

Radionuclide Production Cross Section



25

Incident Energy (MeV)

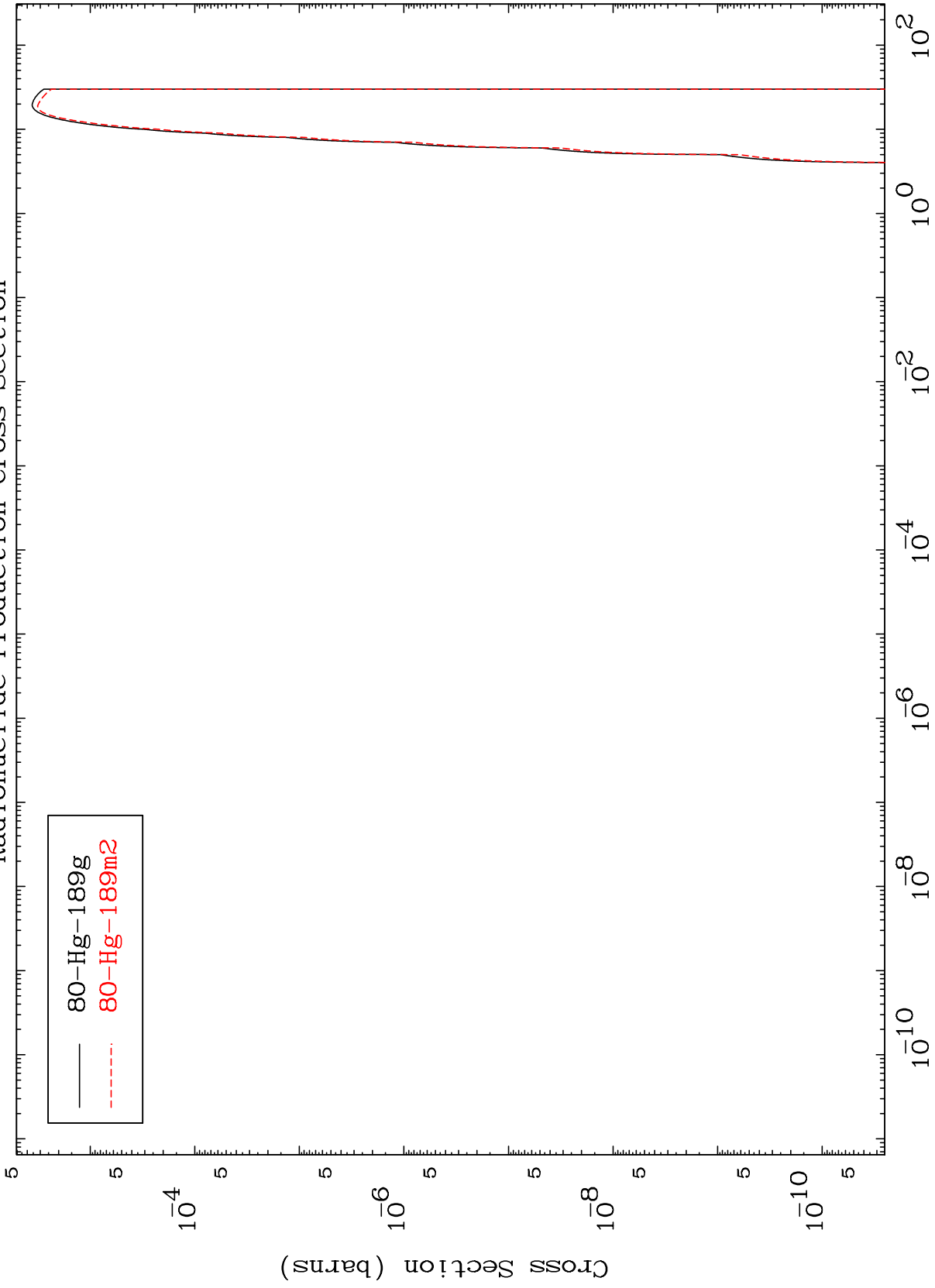
81-Tl-191

MAT 8090

(d, α)

81-Tl-191

Radionuclide Production Cross Section



26

Incident Energy (MeV)

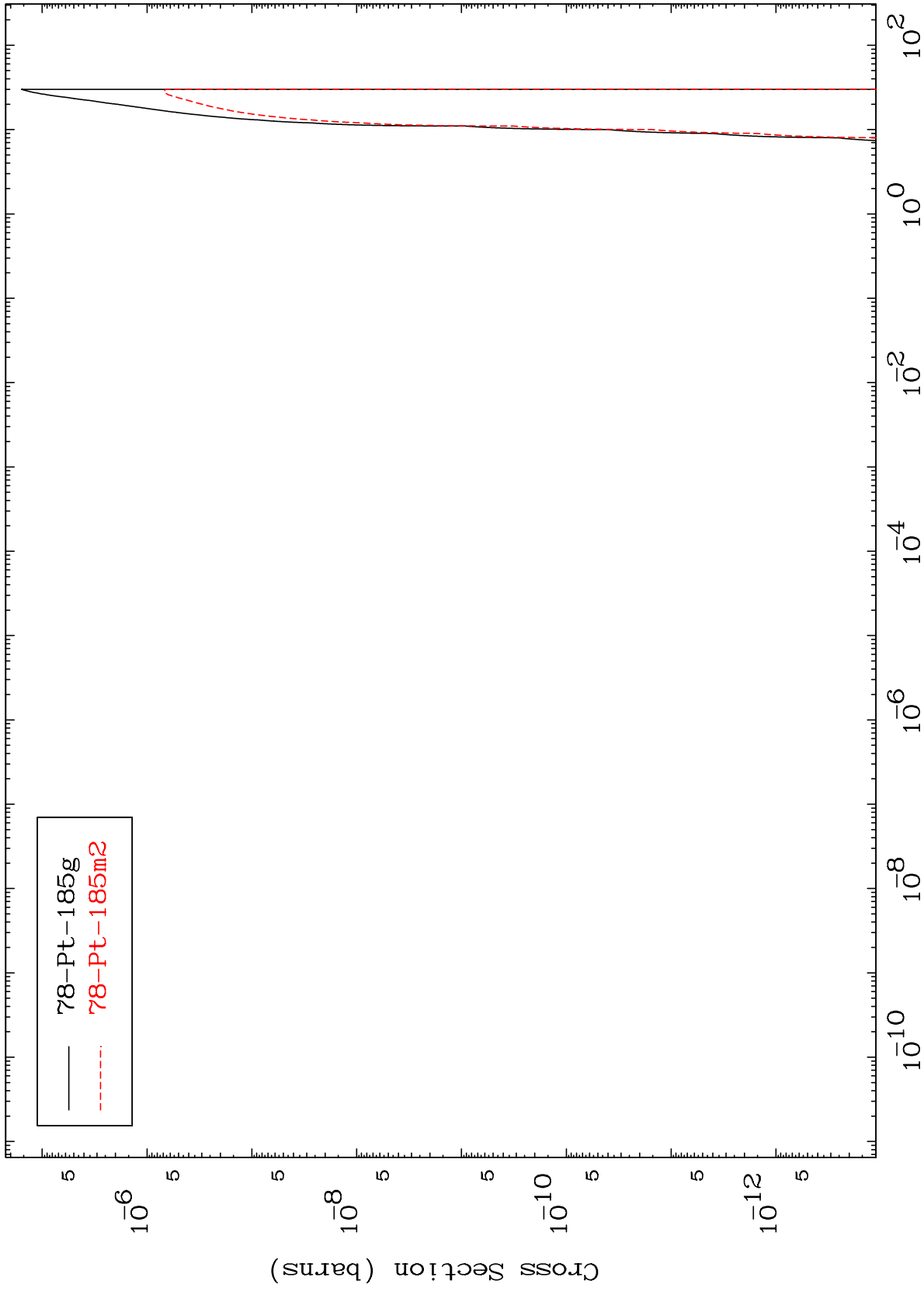
81-Tl-191

MAT 8090

(d,2α)

81-Tl-191

Radionuclide Production Cross Section



27

Incident Energy (MeV)

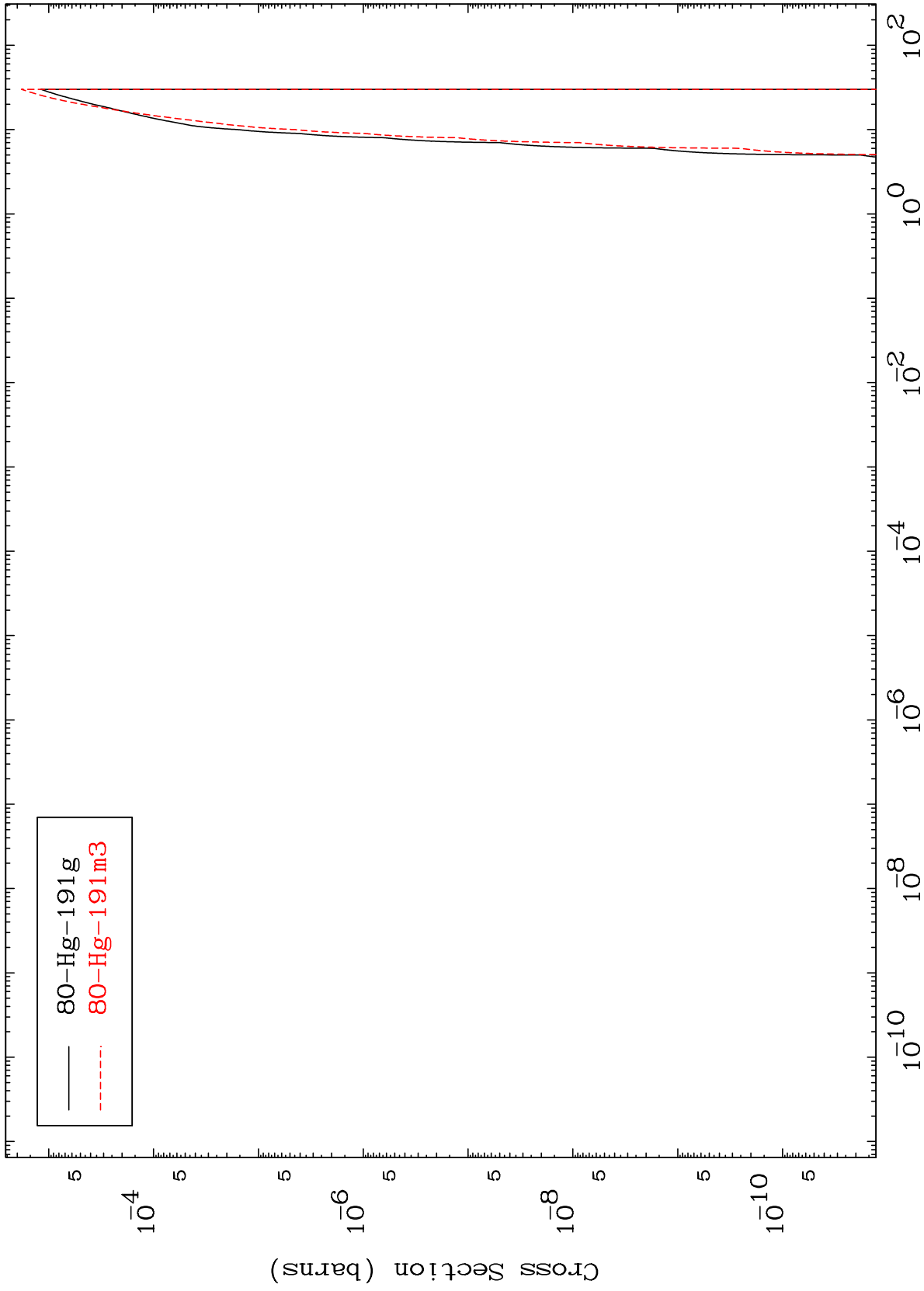
81-Tl-191

MAT 8090

(d,2p)

81-Tl-191

Radionuclide Production Cross Section



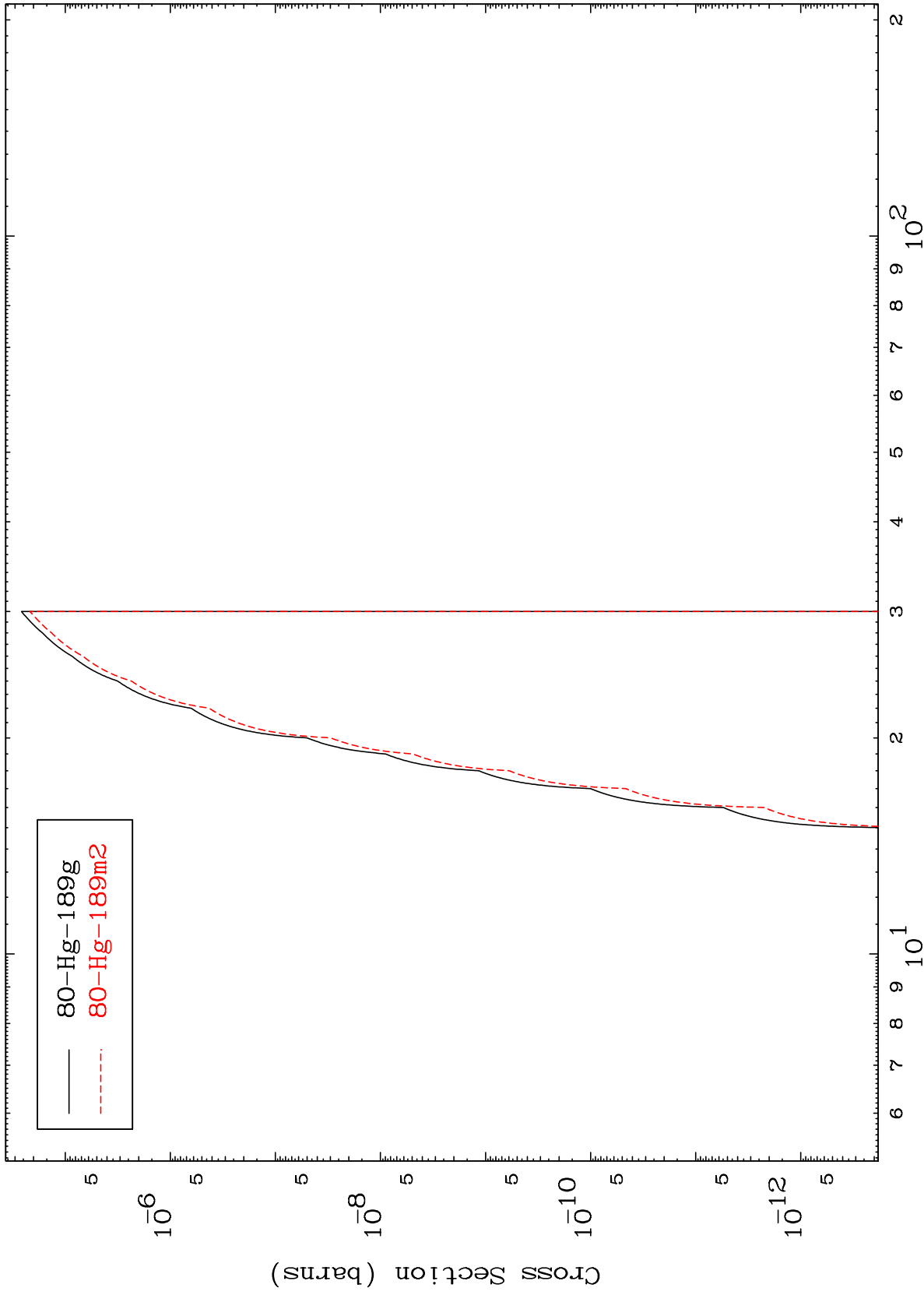
81-Tl-191

MAT 8090

(d,p) t

81-Tl-191

Radionuclide Production Cross Section



29

Incident Energy (MeV)

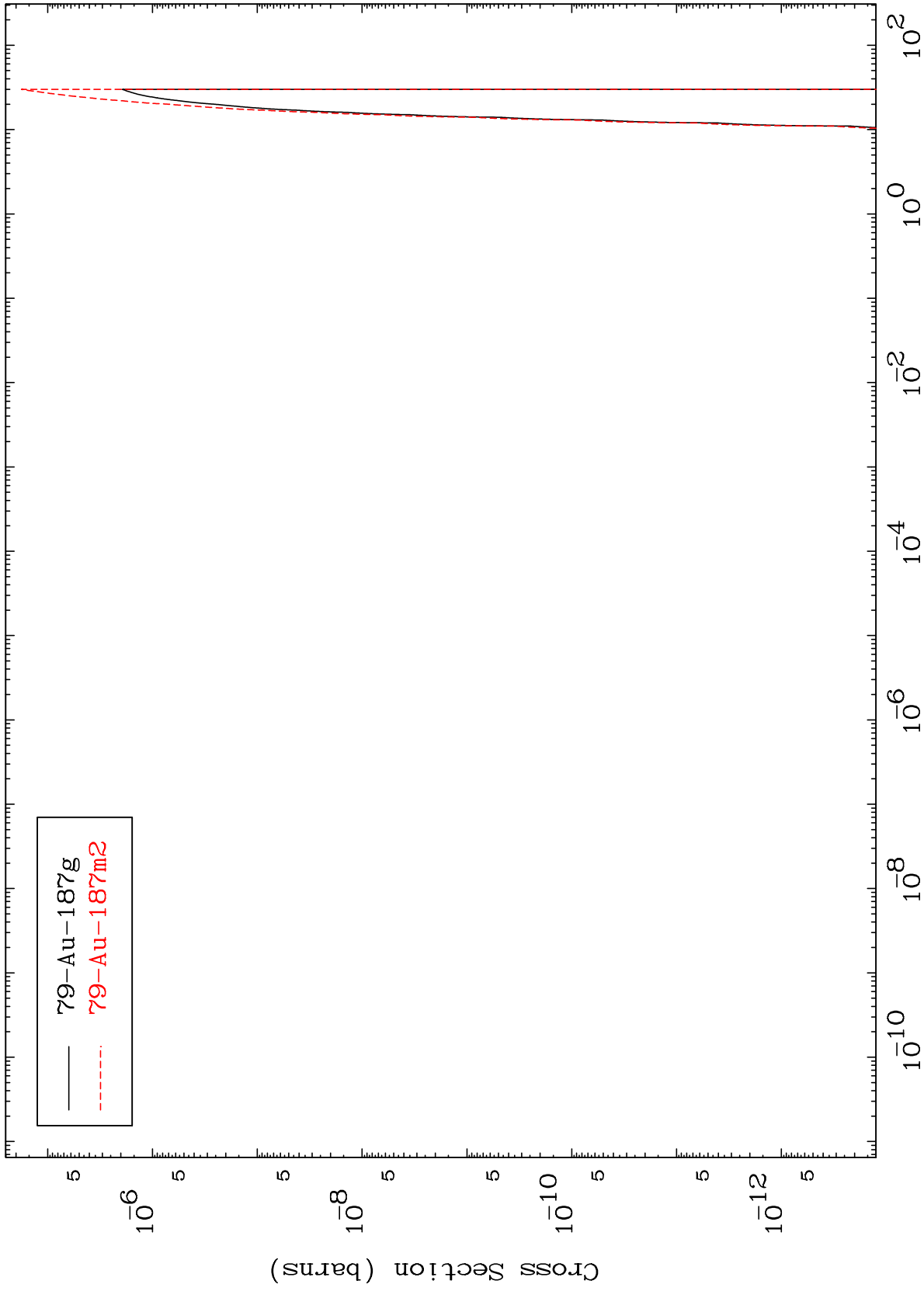
81-Tl-191

MAT 8090

(d,d) α

81-Tl-191

Radionuclide Production Cross Section



30

Incident Energy (MeV)

81-Tl-191